

日本生理學雜誌

JOURNAL OF THE PHYSIOLOGICAL SOCIETY OF JAPAN

原 著

陳 敏 雄：单一有髓神經線維の電気緊張時に於ける電流滑走について 707

船 越 正 也：唾液分泌機構の神經生理学的研究 III. 大脳皮質唾液分泌領の機能的特性 719

Originals

CHEN-Min Hsiung : Studies on current spread of single medullated nerve-fibre at electrotonic

period 707

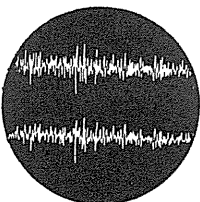
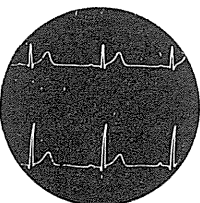
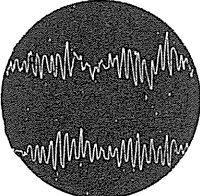
FUNAKOSHI-Masaya : Studies on corticogenic salivary secretion in the dog 719

附：昭和35年度生理学論文表題集（終） 729

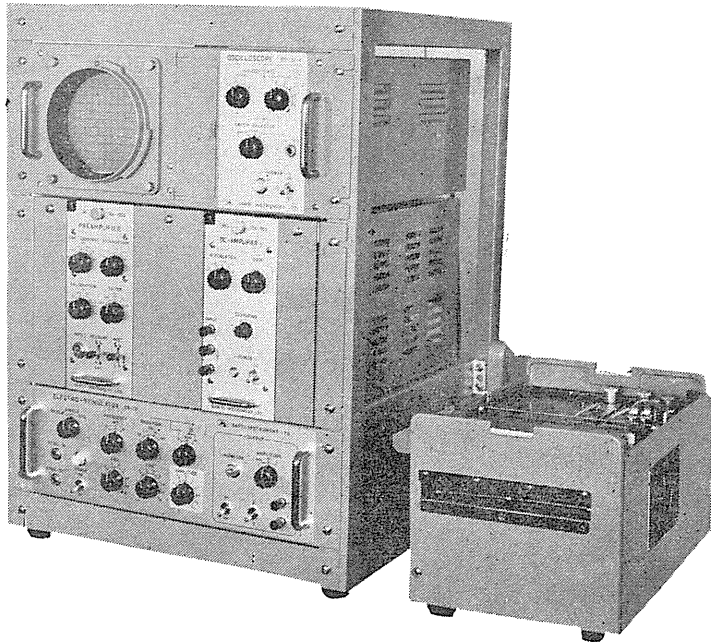
第39回日本生理学会総会案内（第1報） 749

日本生理学雑誌第23巻総目次

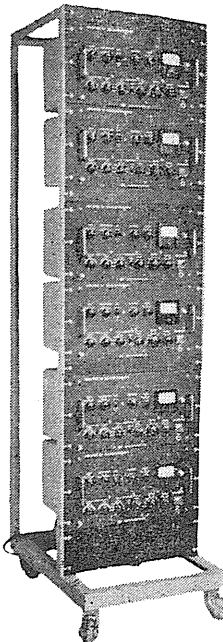
日本 生 理 学 会



生体電気の研究に 学生実習用に 電気生理用実験装置



- ・脳波、心電図、筋電図などの測定に、または電気刺激による生体现象の測定に
- ・増巾器、刺激器、ブラウン管装置はラックパネル式構造記録装置はインク書き式で適宜組合せられる
- ・操作簡便、構造堅牢
- ・価格低廉



生体電気現象測定用増巾器

E B - 101 - Y 型

- ・ラックパネル式構造
- ・脳波、心電図、筋電図はもとより皮膚電気反射、呼吸曲線、指尖脉波等も測定できるポリグラフ用の増巾器

主 要 製 品

脳波計・脳波分析装置・筋電計・アネロケーター・ニスタモグラフ・電気刺激装置・インク書き式オシログラフ・電磁オシログラフ・ブラウン管連続撮影装置・直流増巾器

販売元 **三栄測器商行株式会社**
東京都新宿区柏木 1-95 Tel (371) 7117~8・8114~5



製造元

三栄測器株式会社
三栄レコーダー製造株式会社

单一有髓神経線維の電気緊張時に於ける電流滑走について 612.813.3 : 612.816.1

Studies on current spread of single medullated nerve-fibre at electrotonic period

陳 敏 雄 (CHEN-Min Hsiung) *

The author made an experiment stimulating the medullated nerve of toads at two different points during the electrotonus of various potentials or active periods, and compared several distances of current spread, by means of the action currents from Ranvier's node of single nerve fibrel eading into the cathode ray oscillograph.

The results obtained were as follows:

I. During the constant active period of electrotonus when increasing electrotonic potential was applied from $1/2 E_{Rb}$ to $3/2 E_{Rb}$ on the anodal electrode, an increase of threshold and a decrease of distance of the current spread resulted; while when the cathodal electrode was stimulated, from $1/2 E_{Rb}$ to $1 E_{Rb}$, the threshold decreased and the distance of current spread increased.

II. In the case of the constant electrotonic potential, with varying stimulation periods from short (60 msec) to long (10 sec), a decrease of threshold and an increase of the distance of current spread was obtained, while with the cathodal electrode the reverse effect resulted.

III. The above mentioned results showed the following interesting phenomenon. The noted electrotonic change appeared at the beginning of electrically active period, but gradually decreased as time elapsed, finally approaching the control example (normal state). Furthermore, these facts coincide with studies by Yamanaka which show that the change of rate of conduction is remarkable at the beginning of the electrically active period but gradually weakens.

IV. The author roughly observed the state of the potential distribution provoked by the current spread in several stimulating potentials.

From these data, the author recognized the several states of current spread, at different types of electrotonus, and during short or long electrical active period.

I. 緒 言

神経線維に直流を通すと陽極、陰極及び極外の神経各部位の興奮性及び伝導能は変化する。即ち陽極下では興奮性の減退、陰極下では増大する。これを陽極電気緊張及び陰極電気緊張と称して、古くより知られて來た。而して其生理学的性質の変化は極直下に於いて、最も著明で極を遠ざかるに従って少くなる。又この変化は加えた電位が大きい程大きい。又あたえた電圧を断つと、其瞬間に両極附近での変化は上述と反対の現象を呈する。

以上の事実は E. F. W. Pflüger¹⁾ (1859) により明らかにされた事であるが、其後上述の変化

は直流通電によって神経線維の形質膜に於て生ずる分極電流によるといわれ、電気緊張電流は結局分極電流に他ならぬとされた。

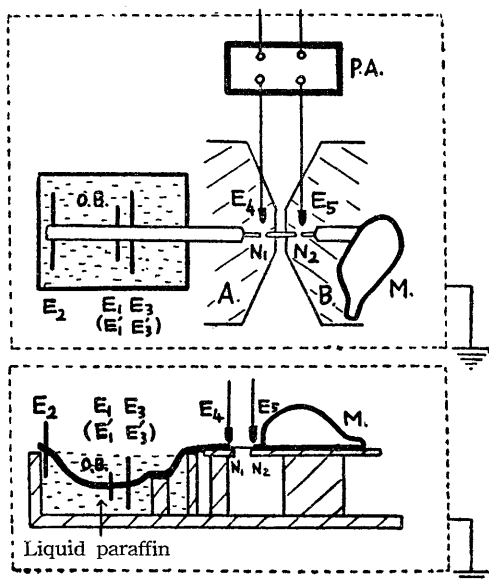
又 Lorente do No²⁾ (1949) は神経の分極電位即ち電気緊張電位の成生消滅には msec の oder 及び 1 sec 内外という時定数を異にする 2つの変化の存する事を発表している。最近では鈴木³⁾⁴⁾ (1951) は一定の電気のかかっている電極には刺戟作用及び分極現象の他に電気緊張と異なる緩徐な時間的経過をもった現象があつて、それは電気緊張とは反対の変化として現れるとして、これを第3作用と名付けて、これは F. Schenitzky⁵⁾ (1930) の Reversing Effect, B. Werigo⁶⁾ (1910) の陰極下抑圧現象に他ならぬと発表している。

一方電流滑走の存在の重大性については、Max Verworn⁷⁾ の減衰伝導学説の誤謬の根本

* 東京歯科大学生理学教室 (伊藤秀三郎教授)

Dept. of Physiol., Tokyo Dental College

〔昭和34年3月1日受付〕

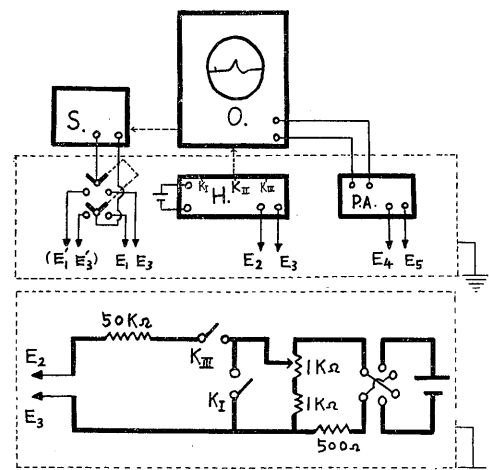


E₁, E₃ (E_{1'}, E_{3'}) : Stimulating electrode. E₂, E₃ : Electrode for electrotonus. E₄, E₅ : Leading electrode. N₁, N₂ : Ranvier's node. M : Muscle. O. B. : Oil bath. A, B : Pool of Ringer's solution. P. A. : Pre-Amplifier.

Under diagram is a side view.

Fig. 1.

Schematic diagram of stimulating and leading method.



E₁, E₃ (E_{1'}, E_{3'}) : Stimulating electrode. E₂, E₃ : Electrode for electrotonus. E₄, E₅ : Leading electrode. O. : Braun tube. S. : Stimulating apparatus. P. A. : Pre-Amplifier. H (K_I, K_{II}, K_{III}) : Helmholtz's pendel and its key.

Fig. 2.

Block-diagram of experimental apparatus and power distributions diagram.

的因子に、電流滑走の無視が指摘された事によっても明らかであるが、其電流滑走の基礎的実証は牧⁸⁾、林⁹⁾、久崎¹⁰⁾(1924-1927)等によりなされ、加藤¹¹⁾¹²⁾、清水¹³⁾(1930)が単一神経線維の剥出に成功後、井手¹⁴⁾(1940)は単一神経線維を用いた実験で Ranver 氏絞輪間距離が電流滑走に密接な関係があると推論し、田崎 敬¹⁵⁾(1956)が陰極線 Oscillograph による測定法を用い電流滑走距離を測定している。

そこで著者は極性、大きさ及び時間の異なる電気緊張電位を有髓神経線維に沿って与え、単一絞輪の動作流を目標として、与えられた電圧による電流滑走の状態を測定したる所 2-3 の知見を得たのでここに報告する。

II. 実験方法

実験材料としては墓の坐骨神経腓腹筋標本を使用し、清水の方法により注意深く分離し、1 時間以上 Ringer 氏液中に静置した单一有髓神経線維を用いた。神経幹は出来るだけ長く剥出し、第 1 図に示すが如く刺戟電極及び電気緊張用電極に接着させ、純粋な流動パラフィンを満したオイルペースの中に沈め、乾燥による外部抵抗の変化を防止した。又 0.8 mm の間隔を持った硝子上の 2 つの Ringer 氏液プール A, B に分離された神経線維の髓鞘部をおき、空気中に浮かして田崎¹⁶⁾の髓鞘乾燥法に従って乾燥させた。尚オイルペースと A プールの間隔は 4 mm とし神経幹を空気中に浮かした。

誘導には Zn-ZnSO₄ Ringer 寒天電極 E₄, E₅ を用い E₄ は A プール、E₅ は B プールに挿入し、第 2 図に示す如く増幅器を通じて陰極線 Oscillograph に活動電流を誘導撮影記録した。

刺戟には電極間距離 4 mm の 2 つの白金電極 E₁, E₃ (E_{1'}, E_{3'}) を用いた。刺戟電流にはすべて持続時間 1 msec の矩形流を用い弱刺戟より順次強度を増して求めた閾値より漸次電圧を上昇させて行った。即ち閾値より其約 8 倍の大きさ迄上昇させて、電気緊張を与えない場合(対照)、陽極電気緊張の場合、陰極電気緊張の場合についての電流滑走を測定した。尚刺戟電流は

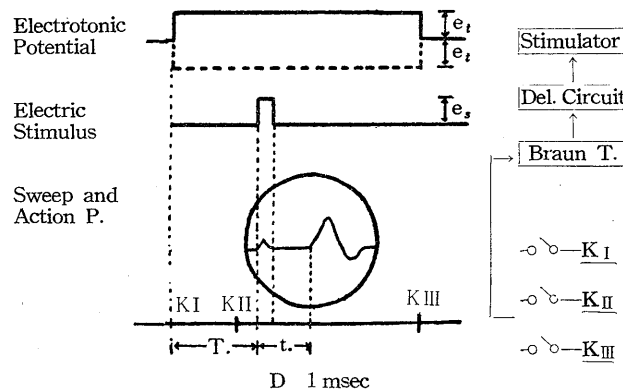
すべて下向流を用いた。

電気緊張には電極間距離 26 mm の白金電極 E_2 , E_3 (E_2 , E_3') を用いた。而して刺戟電極の 1 つと、電気緊張用電極の 1 つとは同一電極 E_3 (E_3') とし、電気緊張による最大の変化の見られる極直下に於ける変化を検討した。電気緊張の極性は E_3 (E_3') が十の場合を陽極通電、一の場合を陰極通電と称することとした。又電気緊張の強さは直流を通じた場合の E_2 , E_3 (E_2 , E_3') 間の電位で示した。而して電気緊張電位は持続時間 10 msec の矩形波を用いて測定した閾値（基電圧 = E_{Rb} ）を基準に、 $1/2 E_{Rb}$, $1 E_{Rb}$, $3/2 E_{Rb}$ の 3 つを用い、刺戟電圧を与える時点は電気緊張電位を与えた 60 msec 後及び 10 sec 後とした。

電気緊張電位の強さは可変抵抗器にて変え、尚刺戟電圧を与える時点は Helmholtz の振子を用いて正確に制定した。又電流の方向変換にポール氏電流方向変換器を使用し、1 つの神経線維に対し、1) 電気緊張を与えない場合（対照）、2) 陽極通電の場合、3) 陰極通電の場合の順に、約 4 分間以上の時間的間隔を置いて実験した。又各実験例に於ける各刺戟電圧の上昇ごとに前後の影響を除去するために 30 秒以上の時間的間隔を置いた。

増巾器は R-C 結合増巾器を用いた。実験装置は絶縁された室内にて行い、温度及び湿度は可能なかぎり一定にする様努めた。

実験装置全体のブロックダイヤグラムを示すと第 2 図の如くである。先づあらかじめ電気緊張電位を $1/2 E_{Rb}$, $1 E_{Rb}$ 又は $3/2 E_{Rb}$ に定め、次に Helmholtz 振子の電鍵 K_I を開き、電極 E_2 , E_3 (E_2 , E_3') に電気緊張電位を与える。通電開始後一定の時間にて電鍵 K_{II} によって陰極線 Oscillograph の Sweep が始まり、更に Del. Circuit を介して通電開始後 60 msec 又は 10 sec の時点に刺戟回路より刺戟電流が電極 E_1 , E_3 (E_1' , E_3') を通じ神経に与えられ、



e_t : Electrotonic potential ($1/2 E_{Rb}$, $1 E_{Rb}$, $3/2 E_{Rb}$). e_s : Stimulating potential (from threshold to the ca. eight times value). T : Period between beginning of electrotonic potential and beginning of stimulating potential (60 msec, 10 sec). t : Latent period. K_I , K_{II} , K_{III} : Action time of key of Helmholtz's pendel. D : Period from beginning of sweep to beginning of stimulation through delay circuit.

Fig. 3.

Time relation, concerning electrotonic potential, stimulating potential and action current.

刺戟が終った後に電鍵 K_{III} が開き電気緊張電流が終る。この際の刺戟電圧は閾値より其約 8 倍迄上昇させた。かくて与えられた刺戟により惹起された動作流は誘導電極 E_4 , E_5 を通じ増巾器を経て Oscillograph に導かれる。以上の時間的関係を模型的にしめしたものが第 3 図である。

今電流滑走路距離 (d) を算出するに当り、閾値に於る潜時を T 、それより強い刺戟を与えた場合の潜時を T' 、同一条件に於る伝導速度を V とすれば、加藤¹¹⁾¹²⁾の電流滑走路距離測定式に従い、

$$d = V(T - T')$$

で表わされる。

この場合の伝導速度 V は神経幹の 2 点 A 及び B に各々の閾値で刺戟を与えての潜時 t 及び t' を求めれば、

$$V = \frac{AB}{t - t'}$$

なる式より算出する事が出来る。

而して電気緊張時に於ける興奮伝導速度は電気緊張を与えない場合に於ける其とは大分異なる

事については、本教室山中²⁰⁾の報告により明らかにされている事であり、又電気緊張下に於ける神経線維の各部位での伝導速度は各々異なる点からして、実験上各部位の伝導速度を求めた上で、滑走距離を算出するという事は不可能に近い事なので、著者は伝導速度の測定に際しては、此の場合は電気緊張時のものは行わず、電気緊張を与えない場合のみ、4 mm の間隔を持った1対の白金電極を2つ、20 mm の距離に一定におき、それを刺戻電極として測定を行なった。そしてこの伝導速度をもって、すべての場合の滑走距離を算出した。よってそれにより当然生じた誤差については考案の項にて検討することにした。

以下実験の内容を分類すると次の通りである。

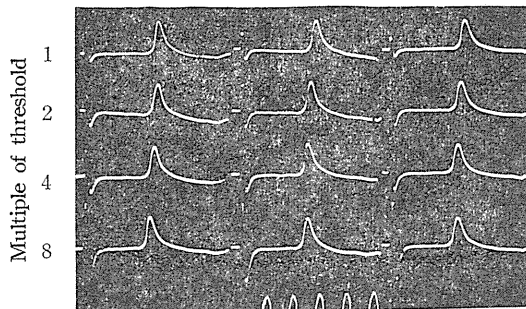
A. 通電時間を60 msecに一定にし、電気緊張電位を変化させた時に於ける電流滑走について。

1. 電気緊張電位を $1/2 E_{Rb}$ に一定し、電気緊張を与えない場合(対照)、陽極電気緊張を与えた場合、陰極電気緊張を与えた場合の順に従って電流滑走を測定。

2. 電気緊張電位を $1 E_{Rb}$ に一定し、同様に各場合の電流滑走の測定。

3. 電気緊張電位を $3/2 E_{Rb}$ に一定し、同様に各場合の電流滑走の測定。

Control (c) Anodal e. a. (+) Cathodal e. a. (-)



Time : 1 msec. E_{Rb} : Rheobase. Control case : Non electrotonic case.

Fig. 4.

Action current in the case of electrotonic potential $-1/2 E_{Rb}$, electrical active period -60 msec.

B. 電気緊張電位を一定にし、通電時間を短時間通電(60 msec)及び長時間通電(10 sec)にした時に於ける電流滑走について。

1. 陽極電気緊張の場合

電気緊張電位を $1/2 E_{Rb}$ 及び $1 E_{Rb}$ にし、其各々につき、電気緊張を与えない場合(対照)、短時間通電の場合、長時間通電の場合の順に従って、電流滑走の測定比較。

2. 陰極電気緊張の場合

電気緊張電位を $1/2 E_{Rb}$ にし陽極通電の時と同様に各場合に於ける電流滑走の測定比較。

この際電気緊張電位 $1 E_{Rb}$ では実験困難であったが、 $1/2 E_{Rb}$ よりやや強めの場合は行なった。

III. 実験成績

A. この実験は陽極通電及び陰極通電について、電気緊張電位を $1/2 E_{Rb}$ 、 $1 E_{Rb}$ 及び $3/2 E_{Rb}$ とかえて、刺戻電圧を通電60 msec後に与えた時の電流滑走の状態を電気緊張を与えない場合の其と比較検討する目的で行なったものである。実験20数例につき殆んど同様な成績を得たので、ここに各々の場合につき、其代表的な例をあげて、其成績を検討して見ると次の通りである。

1. 電気緊張電位を $1/2 E_{Rb}$ とした場合

この場合の成績を表示および図示すると第4図、第1表及び第5図である。第1表に見られる通り、電気緊張を与えない場合(以下対照例と略称する)の閾値は0.57 Vであったものが、陽極通電では0.68 Vに増大し、陰極通電では0.48 Vに減少している。又電流滑走について見れば、同一刺戻電圧0.9 Vに対し、対照例が2.35 mmの滑走距離を示しているのに対して、陽極通電では2.18 mmと0.17 mm減少し、陰極通電では2.72 mmと0.37 mm増大している。而して刺戻電圧を4.4 V迄上昇した時を見ると対照例が6.18 mmに対し、陽極通電では4.54 mmと相変わらず減少をしめしているが、これに対し陰極通電では6.18 mmと対照例と同一数値を示している。これを第5図にて

観察すると漸次刺戟電圧を上昇させた場合、陰極通電の電流滑走曲線が対照例の曲線に漸次接近する傾向があることを示しているに他ならない。この事は陽極通電の場合についても云える事であり、刺戟を 4.4 V 以上に上昇させた場合には同一数値を示すに至るであろう。即ち陽極及び陰極の電流滑走曲線は刺戟電圧の増大と共に次第に対照例の同曲線に接近する傾向を示している。又対照例の電流滑走曲線と陽極通電及び陰極通電のそれとの関係を見ると陽極通電の滑走距離の減少の度合と陰極通電の増大の度合とは大体同じ位である。又各場合とも刺戟電圧の強さと電流滑走路距離は比例的関係にはなく、その増加の度合は刺戟電圧の上昇に従って減少した。

尚図表の縦軸は電流滑走路距離、横軸は刺戟電圧をとった。以下の図表も同様である。

而して今神経線維にかかっている電圧の絶対値について見た場合、対照例の閾値 0.57 V に対して、陽極通電での実際の閾値は 0.68 V と電気緊張電位 (+0.2 V) の和と考えられる故 (0.48)，実際には対照例の閾値より小さい。又陰極通電では 0.48 V と電気緊張電位 (-0.2 V) の和と考えられるので (0.68)，対照例の閾値より大きい。即ち閾値の絶対値については陽極通電では減少し、陰極通電では増大している様に思われる。

2. 電気緊張電位を $1 E_{Rb}$ とした場合

この場合の陽極通電での実験成績を表示及び図示すれば第 2 表及び第 6 図の如くである。即ち第 2 表に見られるがごとく、対照例の閾値が 0.57 V であり、 $1/2 E_{Rb}$ の場合では 0.68 V であったものが、電気緊張電位を $1 E_{Rb}$ に強めた場合、その閾値は 0.72 V に更に増大した。この場合同じ 0.9 V の刺戟電圧に対する電流滑走路距離を見るに、対照例で 2.35 mm， $1/2 E_{Rb}$ の場合で 2.18 mm であったものが、 $1 E_{Rb}$ の場合では 0.72 mm と対照例より 1.63 mm も減少を見せており。又第 6 図を観察すると対照例に対する $1/2 E_{Rb}$ の場合及び $1 E_{Rb}$ の場合の両電流滑走曲線の減少の度合を見るに殆んど $1/2 E_{Rb}$

Table 1.

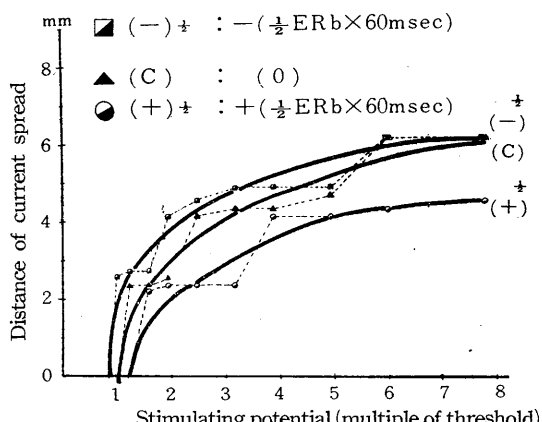
Experimental value about relationship between electrotonic potential and distance of current-spread (Cases of anodal or cathodal e. a).

Rate of conduction : 18.18 mm/msec.

Room temperature : 15°C.

Electro-tonic potential period (volt)	Electrical stimulation period (msec)	Stimulating potential (volt)	Latent period (msec)	Difference of latent period (msec)	Distance of current spread (mm)
0	0	(0.57) ^x	(2.43) ^{xx}	0	0
0	0	0.7	2.30	0.13	2.35
0	0	0.9	2.30	0.13	2.35
0	0	1.1	2.29	0.14	2.54
0	0	1.4	2.20	0.23	4.16
0	0	1.8	2.19	0.24	4.36
0	0	2.2	2.19	0.24	4.36
0	0	2.8	2.17	0.26	4.72
0	0	3.4	2.09	0.34	6.18
0	0	4.4	2.09	0.34	6.18
+0.2	60	(0.68)	(2.33)	0	0
+0.2	60	0.9	2.21	0.12	2.18
+0.2	60	1.1	2.20	0.13	2.35
+0.2	60	1.4	2.20	0.13	2.35
+0.2	60	1.8	2.20	0.13	2.35
+0.2	60	2.2	2.10	0.23	4.16
+0.2	60	2.8	2.10	0.23	4.16
+0.2	60	3.4	2.09	0.24	4.36
+0.2	60	4.4	2.08	0.25	4.54
-0.2	60	(0.48)	(2.46)	0	0
-0.2	60	0.57	2.32	0.14	2.54
-0.2	60	0.7	2.31	0.15	2.72
-0.2	60	0.9	2.31	0.15	2.72
-0.2	60	1.1	2.23	0.23	4.16
-0.2	60	1.4	2.21	0.25	4.54
-0.2	60	1.8	2.19	0.27	4.90
-0.2	60	2.2	2.19	0.27	4.90
-0.2	60	2.8	2.19	0.27	4.90
-0.2	60	3.4	2.12	0.34	6.18
-0.2	60	4.4	2.12	0.34	6.18

\times : Threshold. $\times \times$: Latent period at threshold.



1) Threshold at control case (C) is 1.

2) Thick curves were written connecting middle points of each distance of current spread.

Fig. 5.

Curve which shows relationship between distance of current spread and stimulating potential.

Table 2.

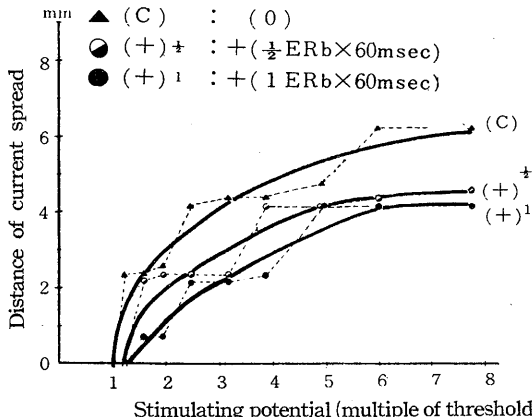
Experimental value about relationship between electrotonic potential and distance of current spread
(Case of anodal e. a.).

Rate of conduction : 18.18 mm/msec.

Room temperature : 15°C.

Electro-tonic potential period (volt)	Electrical active potential (volt)	Stimulating potential (volt)	Latent period (msec)	Difference period (msec)	Distance of current spread (mm)
0	0	(0.57) ^x	(2.43) ^{xx}	0	0
0	0	0.7	2.30	0.13	2.35
0	0	0.9	2.30	0.13	2.35
0	0	1.1	2.29	0.14	2.54
0	0	1.4	2.20	0.23	4.16
0	0	1.8	2.19	0.24	4.36
0	0	2.2	2.19	0.24	4.36
0	0	2.8	2.17	0.26	4.72
0	0	3.4	2.09	0.34	6.18
0	0	4.4	2.09	0.34	6.18
+0.2	60	(0.68)	(2.33)	0	0
+0.2	60	0.9	2.21	0.12	2.18
+0.2	60	1.1	2.20	0.13	2.35
+0.2	60	1.4	2.20	0.13	2.35
+0.2	60	1.8	2.20	0.13	2.35
+0.2	60	2.2	2.10	0.23	4.16
+0.2	60	2.8	2.10	0.23	4.16
+0.2	60	3.4	2.09	0.24	4.36
+0.2	60	4.4	2.08	0.25	4.54
+0.4	60	(0.72)	(2.20)	0	0
+0.4	60	0.9	2.16	0.04	0.72
+0.4	60	1.1	2.16	0.04	0.72
+0.4	60	1.4	2.08	0.12	2.18
+0.4	60	1.8	2.08	0.12	2.18
+0.4	60	2.2	2.07	0.13	2.35
+0.4	60	2.8	1.97	0.23	4.16
+0.4	60	3.4	1.97	0.23	4.16
+0.4	60	4.4	1.97	0.23	4.16

^x : Threshold. ^{xx} : Latent period at threshold.



Stimulating potential (multiple of threshold)

1) Threshold at control case (C) is 1.

2) Thick curves were written connecting middle point of each distance of current spread.

Fig. 6.

Curve which shows relationship between distance of current spread and stimulating potential.

Table 3.

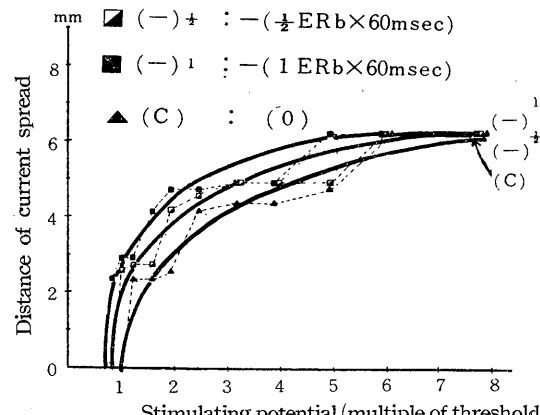
Experimental value about relationship between electrotonic potential and distance of current spread
(Case of cathodal e. a.).

Rate of conduction : 18.18 mm/msec.

Room temperature : 15°C.

Electro-tonic potential period (volt)	Electrical active potential (volt)	Stimulating potential (volt)	Latent period (msec)	Difference period (msec)	Distance of current spread (mm)
0	0	(0.57) ^x	(2.43) ^{xx}	0	0
0	0	0	0	0.7	2.30
0	0	0	0	0.9	2.30
0	0	0	0	1.1	2.29
0	0	0	0	1.4	2.20
0	0	0	0	1.8	2.19
0	0	0	0	2.2	2.19
0	0	0	0	2.8	2.17
0	0	0	0	3.4	2.09
0	0	0	0	4.4	2.09
-0.2	60	0	60	(0.48)	(2.46)
-0.2	60	0	60	0.57	2.32
-0.2	60	0	60	0.7	2.32
-0.2	60	0	60	0.9	2.31
-0.2	60	0	60	1.1	2.23
-0.2	60	0	60	1.4	2.21
-0.2	60	0	60	1.8	2.19
-0.2	60	0	60	2.2	2.19
-0.2	60	0	60	2.8	2.19
-0.2	60	0	60	3.4	2.12
-0.2	60	0	60	4.4	2.12
-0.4	60	0	60	(0.4)	(2.48)
-0.4	60	0	60	0.48	2.35
-0.4	60	0	60	0.57	2.32
-0.4	60	0	60	0.7	2.32
-0.4	60	0	60	0.9	2.25
-0.4	60	0	60	1.1	2.22
-0.4	60	0	60	1.4	2.22
-0.4	60	0	60	1.8	2.21
-0.4	60	0	60	2.2	2.21
-0.4	60	0	60	2.8	2.14
-0.4	60	0	60	3.4	2.14
-0.4	60	0	60	4.4	2.14

^x : Threshold. ^{xx} : Latent period at threshold.



Stimulating potential (multiple of threshold)

1) Threshold at control case (C) is 1.

2) Thick curves were written connecting middle point of each distance of current spread.

Fig. 7.

Curve which shows relationship between distance of current spread and stimulating potential.

の場合に対し、 $1 E_{Rb}$ の場合の曲線が倍に近い減少を示しており、両曲線とも刺戟電圧が漸次上昇するに従い対照例の曲線に接近する傾向を示している。而してこの場合でも神経線維に作用する絶対値についていえば閾値 $0.72 V$ と電気緊張電位 ($+0.4 V$) の和と考えられるので (0.32)、 $1/2 E_{Rb}$ の場合よりも一層の閾値の減少を示すことになる。

一方陰極通電の場合に於ては陽極通電の場合に較べ、其実験成績はやや一定しなかったが、第3表及び第7図に示した例では、対照例で閾値は $0.57 V$ であり、又 $1/2 E_{Rb}$ の場合では $0.48 V$ であったものが $1 E_{Rb}$ では $0.4 V$ に減少した。又電流滑走距離についても $0.9 V$ の刺戟電圧に対して、対照例の $2.35 mm$, $1/2 E_{Rb}$ の場合の $2.72 mm$ より増大し $4.16 mm$ を示していたが、第7図で見られる様に一般に同条件での陽極通電に於ける電流滑走の減少の度合に較べ、其増大の度合は少ない様と思われる。これを又絶対値について考えて見た場合、閾値は増大する様な傾向が見られる。

3. 電気緊張電位の強さを $3/2 E_{Rb}$ にした場合

この大きさでの陰極通電の場合は成績が全く不安定になったため除外した。尚6例の陽極通電の中の1例を示すと第4表、第8図の如くである。即ち強さを $3/2 E_{Rb}$ に強めた時、閾値の一層の増大と電流滑走の減少を見た。其電流滑走曲線は刺戟電圧が大きい場合は、 $1 E_{Rb}$ の場合の電流滑走曲線に接近した。

B. この実験では電気緊張電位を $1/2 E_{Rb}$ 又は $1 E_{Rb}$ に一定した。刺戟を通電 $60 msec$ 後(短時間通電) 及び通電 $10 sec$ 後(長時間通電) の2つの時点に与えた場合に於ける各々の電流滑走の状態の変化を比較観察する目的で行ったものである。10数例につき大体同様の成績を得たが、其代表例をあげれば次の通りである。

1. 陽極電気緊張の場合

この実験では電気緊張電位の強さを $1/2 E_{Rb}$ にした時と $1 E_{Rb}$ にした時とでは其成績に質的相違は見られなかった。故に今 $1 E_{Rb}$ ($0.4 V$) にした場合の1例をあげれば、第5表及び第9図

Table 4.

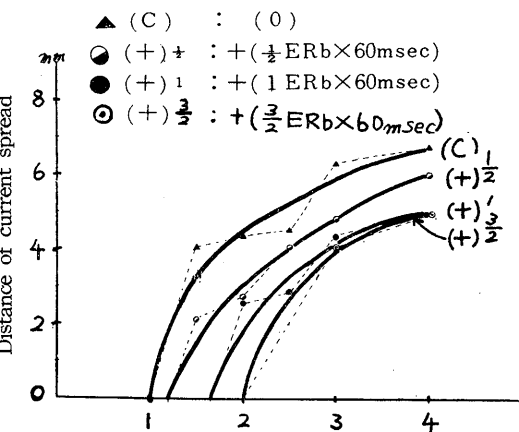
Experimental value about relationship between electrotonic potential and distance of current spread (Case of anodal e. a).

Rate of conduction : $15.04 mm/msec$.

Room temperature : $14^{\circ}C$.

Electrotonic potential period (volt)	Electrical stimulation active period (msec)	Latent period (volt)	Difference of latent period (msec)	Distance of current spread (mm)
0	0	(1.0) ^x	(3.00) ^{xx}	0
0	0	1.5	2.73	0.27
0	0	2.0	2.71	0.29
0	0	2.5	2.70	0.30
0	0	3.0	2.58	0.42
0	0	4.0	2.55	0.45
+0.45	60	(1.2)	(2.90)	0
+0.45	60	1.5	2.76	0.14
+0.45	60	2.0	2.72	0.18
+0.45	60	2.5	2.63	0.27
+0.45	60	3.0	2.58	0.32
+0.45	60	4.0	2.50	0.40
+0.9	60	(1.65)	(2.88)	0
+0.9	60	2.0	2.71	0.17
+0.9	60	2.5	2.69	0.19
+0.9	60	3.0	2.59	0.29
+0.9	60	4.0	2.55	0.33
+1.35	60	(2.0)	(2.93)	0
+1.35	60	3.0	2.66	0.27
+1.35	60	4.0	2.60	0.33

^x : Threshold. ^{xx} : Latent period at threshold.



Stimulating potential (multiple of threshold)

- 1) Threshold at control case (C) is 1.
- 2) Thick curves were written connecting middle point of each distance of current spread.

Fig. 8.

Curve which shows relationship between distance of current spread and stimulating potential.

の通りである。即ち閾値について見れば、対照例の場合 $0.6 V$ であったものが短時間通電では $0.8 V$ に増大し、長時間通電では $0.64 V$ と減

Table 5.

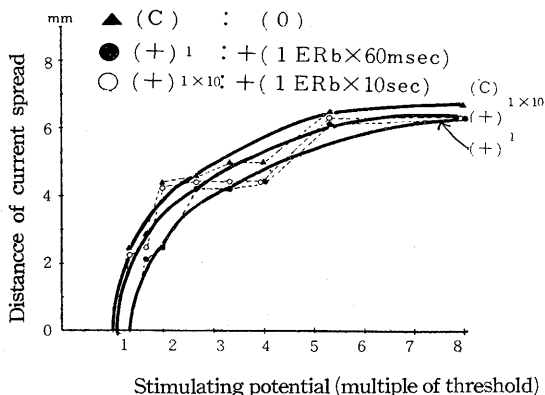
Experimental value about relationship between electrical active period and distance of current spread (Case of anodal e. a.)

Rate of conduction : 19.04 mm/msec.

Room temperature : 15°C.

Electrotonic potential (volt)	Electrical active period (msec)	Stimulating potential (volt)	Latent period (msec)	Difference of latent period (msec)	Distance of current spread (mm)
0	0	(0.6)×	(2.33)××	0	0
0	0	0.8	2.20	0.13	2.47
0	0	1.0	2.18	0.15	2.85
0	0	1.2	2.10	0.23	4.37
0	0	1.6	2.09	0.24	4.56
0	0	2.0	2.07	0.26	4.95
0	0	2.4	2.07	0.26	4.95
0	0	3.2	1.99	0.34	6.47
0	0	4.8	1.98	0.35	6.64
+0.4	60	(0.8)	(2.20)	0	0
+0.4	60	1.0	2.09	0.11	2.09
+0.4	60	1.2	2.07	0.13	2.47
+0.4	60	1.6	1.98	0.22	4.18
+0.4	60	2.0	1.98	0.22	4.18
+0.4	60	2.4	1.97	0.23	4.37
+0.4	60	3.2	1.88	0.32	6.09
+0.4	60	4.8	1.87	0.33	6.28
+0.4	10×10^3	(0.64)	(2.23)	0	0
+0.4	10×10^3	0.8	2.11	0.12	2.28
+0.4	10×10^3	1.0	2.10	0.13	2.47
+0.4	10×10^3	1.2	2.01	0.22	4.18
+0.4	10×10^3	1.6	2.00	0.23	4.37
+0.4	10×10^3	2.0	2.00	0.23	4.37
+0.4	10×10^3	2.4	2.00	0.23	4.37
+0.4	10×10^3	3.2	1.90	0.33	6.28
+0.4	10×10^3	4.8	1.90	0.33	6.28

× : Threshold. × × : Latent period at threshold.



- 1) Threshold at control case (C) is 1.
- 2) Thick curves were written connecting middle point of each distance of current spread.

Fig. 9.

Curve which shows relationship between distance of current spread and stimulating potential.

Table 6.

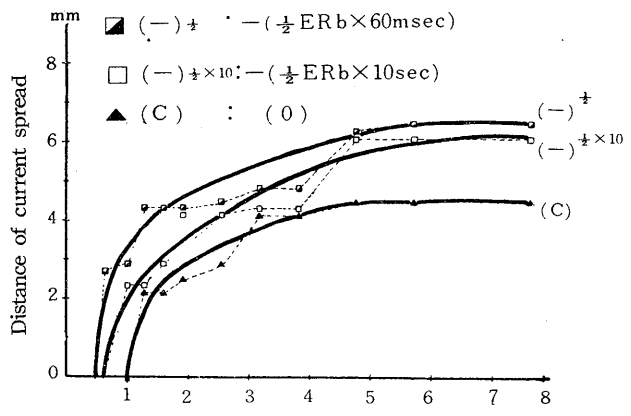
Experimental value about relationship between electrical active period and distance of current spread (Case of cathodal e. a.).

Rate of conduction : 18.01 mm/msec.

Room temperature : 15°C.

Electrotonic potential (volt)	Electrical active period (msec)	Stimulating potential (volt)	Latent period (msec)	Difference of latent period (msec)	Distance of current spread (mm)
0	0	(0.63)×	(1.88)××	0	0
0	0	0.8	1.76	0.12	2.16
0	0	1.0	1.76	0.12	2.16
0	0	1.2	1.74	0.14	2.52
0	0	1.6	1.72	0.14	2.88
0	0	2.0	1.65	0.23	4.14
0	0	2.4	1.65	0.23	4.14
0	0	3.0	1.63	0.25	4.50
0	0	3.6	1.63	0.25	4.50
0	0	4.8	1.63	0.25	4.50
-0.2	60	(0.3)	(1.94)	0	0
-0.2	60	0.4	1.79	0.15	2.70
-0.2	60	0.63	1.78	0.16	2.88
-0.2	60	0.8	1.70	0.24	4.32
-0.2	60	1.0	1.70	0.24	4.32
-0.2	60	1.2	1.70	0.24	4.32
-0.2	60	1.6	1.69	0.25	4.50
-0.2	60	2.0	1.68	0.26	4.86
-0.2	60	2.4	1.68	0.26	4.86
-0.2	60	3.0	1.59	0.35	6.30
-0.2	60	3.6	1.58	0.36	6.48
-0.2	60	4.8	1.58	0.36	6.48
-0.2	10×10^3	(0.38)	(1.90)	0	0
-0.2	10×10^3	0.63	1.77	0.13	2.34
-0.2	10×10^3	0.8	1.77	0.13	2.34
-0.2	10×10^3	1.0	1.74	0.16	2.88
-0.2	10×10^3	1.2	1.67	0.23	4.14
-0.2	10×10^3	1.6	1.67	0.23	4.14
-0.2	10×10^3	2.0	1.66	0.24	4.32
-0.2	10×10^3	2.4	1.66	0.24	4.32
-0.2	10×10^3	3.0	1.56	0.34	6.12
-0.2	10×10^3	3.6	1.56	0.34	6.12
-0.2	10×10^3	4.8	1.56	0.34	6.12

× : Threshold. × × : Latent period at threshold.



- 1) Threshold at control case (C) is 1.
- 2) Thick curves were written connecting middle point of each distance of current spread.

Fig. 10.

Curve which shows relationship between distance of current spread and stimulating potential.

少を示している注目すべき事実を見る事が出来る。又電流滑走路距離については 1.2 V の同一刺戟電圧に対し、対照例では 4.37 mm、短時間通電で、2.47 mm であったものが、長時間通電では 4.18 mm と短時間通電に較べ著しく増大を示している。而して刺戟電圧を 4.8 V 迄上昇させると両者とも 6.28 mm と同一滑走路距離を示していた。これは電気緊張電位を次第に大きくすると、この際も両者が漸次接近する傾向がある事を示しているものと思われる。又第 9 図の電流滑走路曲線を見れば、長時間通電時の曲線は対照例と短時間通電時の両曲線の中間に位置していることが分る。即ち短時間通電の場合に較べ、長時間通電の場合には一方閾値は減少し、他方電流滑走路距離は増大して対照例の値に近づくのである。

2. 陰極電気緊張の場合

この場合では強さを基電圧近くにまで強めた場合、特に長時間通電では神經線維に与える影響が大きいためか、実験が困難であった。よって実験は強さ $1/2 E_{Rb}$ の場合及びこれよりもや

Table 7.

Experimental value about relationship between electrotonic potential and distance of current spread (Cases of anodal or cathodal e. a.).

Rate of conduction : 18.69 mm/msec.

Room temperature : 15°C.

Electro-tonic potential (volt)	active period (msec)	Electrical Stimulating potential (volt)	Latent period (msec)	Difference of latent period (msec)	Distance of current spread (mm)
0	0	(0.48) ^x	(2.20) ^{xx}	0	0
0	0	0.6	2.08	0.12	2.24
0	0	0.8	2.05	0.15	2.80
0	0	1.0	2.05	0.15	2.80
0	0	1.4	1.96	0.24	4.48
0	0	2.0	1.94	0.26	4.91
+0.2	60	(0.66)	(2.16)	0	0
+0.2	60	0.8	2.05	0.11	2.04
+0.2	60	1.0	2.04	0.12	2.24
+0.2	60	1.4	2.04	0.12	2.24
+0.2	60	2.0	1.93	0.23	4.29
-0.2	60	(0.34)	(2.46)	0	0
-0.2	60	0.48	2.24	0.22	4.11
-0.2	60	0.6	2.23	0.23	4.29
-0.2	60	0.8	2.21	0.25	4.67
-0.2	60	1.0	2.21	0.25	4.67
-0.2	60	1.4	2.12	0.34	6.35
-0.2	60	2.0	2.11	0.35	6.54

^x : Threshold. ^{xx} : Latent period at threshold.

や強めの場合のみ行った。1 例をあげれば第 6 表及び第 10 図の如くである。即ち閾値では対照例の場合 0.63 V であったものが短時間通電で 0.3 V に減少したが、長時間通電では逆に 0.38 V に増大した。又電流滑走については 1.2 V の同一刺戟電圧に対し、短時間通電では 4.32 mm の滑走路距離をしめたものが、長時間通電では 4.14 mm と逆に減少を示していた。この傾向は或る例に於ては非常に著明に現れて、対照例での同一刺戟電圧に対する滑走路距離よりも減少するのを見た。又第 10 図に見られる通り、長時間通電の場合の電流滑走曲線は対照例と短時間通電の場合の両曲線の殆んど中間に位置しているのを知る。即ち陰極通電の場合では丁度反対に、短時間通電の場合に較べ、長時間通電の場合、閾値は増大し、電流滑走路距離は減少して対照値に近づくという興味ある事実を知る事が出来た。

IV. 考 案

電気緊張を与えた場合、陽極下では閾値の上昇、閾値時の潜時の短縮および電流滑走の減少を、陰極下では電気緊張電圧の強さが基電圧以下では閾値の減少と閾値時の潜時の延長及び電流滑走の増大を見た。

1. いま神經線維に沿っての各部位に於ける与えられた刺戟電圧に対する電流滑走のために発生せる電位の拡り具合を代表的 1 実験例第 7 表について模型的に考察して見よう。第 11 図は第 7 表に示されている様に、陽極及び陰極に、電気緊張電位 $1/2 E_{Rb}$ (0.2 V)、通電時間 60 msec の同一条件を附与した場合と対照例と共に、其電位の拡り具合を模型化したものである。即ち横軸は神經線維と仮定し、同時に神經線維に沿っての滑走路距離を示し、縦軸は刺戟電圧を示した。又 (C) は対照例、(+) は陽極通電の場合、(-) は陰極通電の場合を示す。

今 (C) の模型図の作製方法を述べれば次の通りである。

即ち、

刺戟電圧 0.6 V の点と滑走路距離 2.24 mm の点

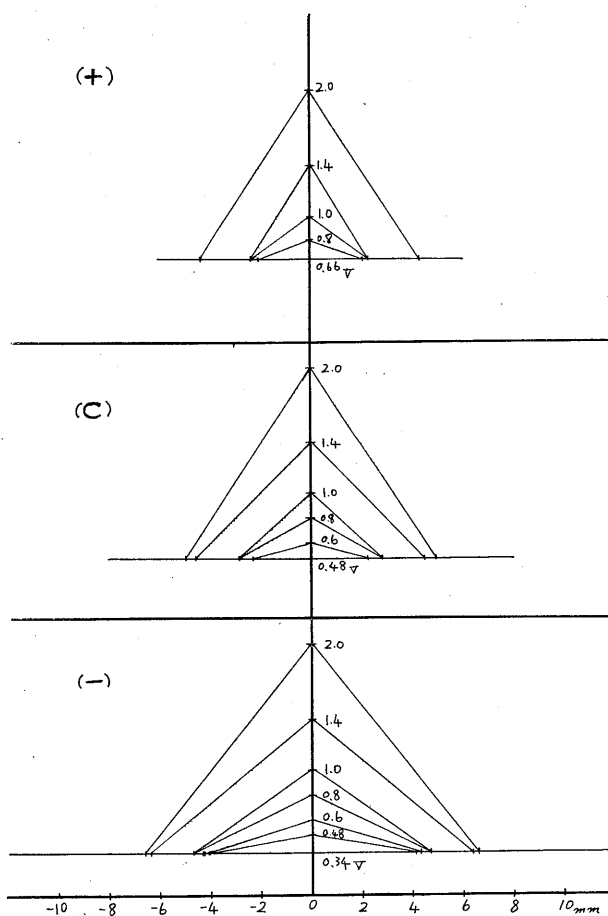


Fig. 11.

Schematic diagram of potential distribution at electrotonus
(From Table 7).

刺戟電圧 0.8 V の点と滑走距離 2.80 mm の点
刺戟電圧 1.0 V の点と滑走距離 2.80 mm の点
刺戟電圧 1.4 V の点と滑走距離 4.48 mm の点
刺戟電圧 2.0 V の点と滑走距離 4.91 mm の点を各々結んで行き、同様反対側にも滑走がなされたものと仮定して同様にして画いたものである。又同様にして (+) 及び (-) のも作製した。この第11図に示された各山型は刺戟電圧に対する電流滑走によって引き起された対照例、陽極電気緊張、陰極電気緊張の際の電位分布の極く概略の模様を示したものである。勿論実際に於いては神経線維に沿って起った電位の拡りは、原点からの距離に比例した関係にはなく指數函数的な分布を持つであろう事は予想される

が相対的な関係を、この様な簡単な模型図で比較することも可能である。即ち上より (+), (C), (-) と順次其電位の拡りは増大している。而して第11図の (+) 及び (-) に示されたものは電気緊張下に於ける実験上のものであって、其場合の横軸上の各点の電位の絶対値は簡単には決め難い。

次に第5表及び第6表を例にとり、電気緊張電位を一定にし、通電時間を短時間通電及び長時間通電とにした場合の陽極及び陰極での電位の拡りの変化を前者同様の方法にて比較して見るために、模型図第12図及び第13図を作製した。

先づ陽極通電の場合を見ると第12図に示される通り通電時間の増加とともに其電流滑走は増加し時間と共に漸次対照例 (C) に近くなる様な傾向が見られる。

陰極通電の場合は第13図に見られる様に、陽極通電とは逆に通電時間の増加と共に電流滑走は次第に減少し、対照例に接近する傾向が見られる。

2.ここに実験方法の項で述べた様に陽極及び陰極での電流滑走距離の算出に当っては、すべて電気緊張を施さない場合（正常対照例）に於ける伝導速度を基準として行ったのであるが、電気緊張時に於ける伝導速度については山中²⁰⁾の実験の結果、短時間陽極通電の場合、伝導速度は電気緊張電位が $1/2 E_{Rb}$ までは 10.3% の比較的大きい減少率を示し、 $1/2 E_{Rb}$ 以上では電気緊張電位を強めるに従い、其減少率は低下した。一方短時間陰極通電の場合では電気緊張電位が $1/3 E_{bR}$ より $1/2 E_{Rb}$ までは約11% という大きい増加率を示し、 $1/2 E_{Rb}$ より $1 E_{Rb}$ までは其増加の度合は鈍化し、 $1 E_{Rb}$ 以上では逆に減少する事が分った。

以上の結果より既述の成績を吟味すると、実際の場合（電気緊張時の伝導速度でもって算出

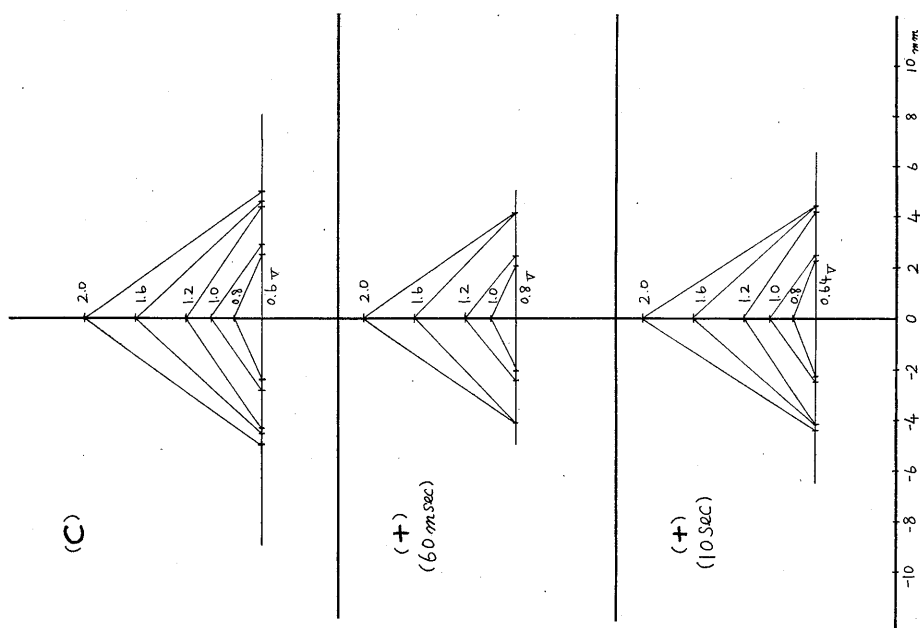


Fig. 12.
Schematic diagram of potential distribution at electrotonus
(From Table 5).

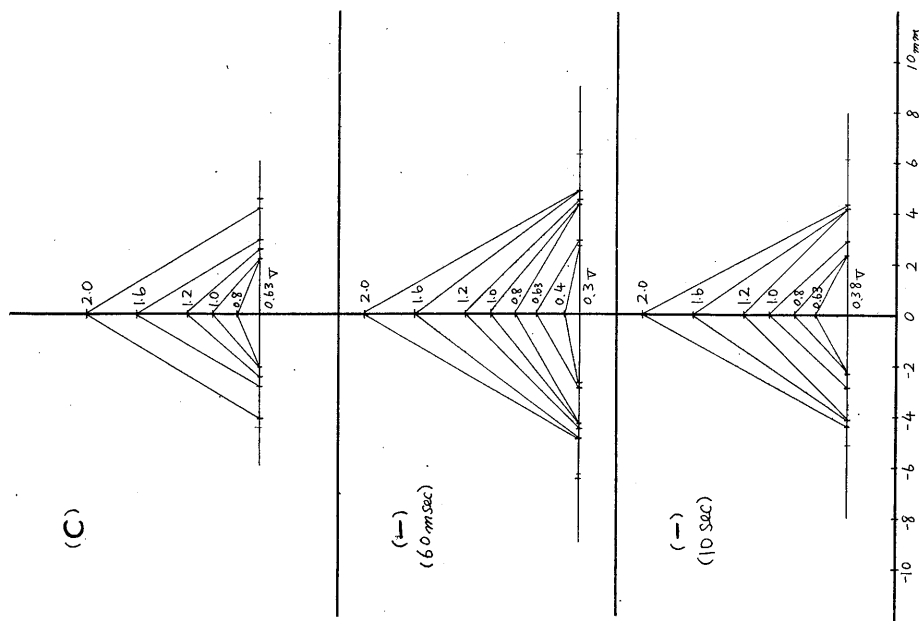


Fig. 13.
Schematic diagram of potential distribution at electrotonus
(From Table 6).

した時の電流滑走距離の値)は、陽極通電では $1/2 E_{Rb}$ の場合、前記滑走距離よりも103/1000倍だけよけいに減少しており、 $1 E_{Rb}$ 及び $3/2 E_{Rb}$ の場合、其減少度合は $1/2 E_{Rb}$ の場合よりやや少ない筈である。又陰極通電では $1/2 E_{Rb}$ の場合は其11/100倍だけよけいに増大しており、

$1 E_{Rb}$ の場合では其増加の度合は $1/2 E_{Rb}$ の場合よりやや小であると思われる。

又長時間通電の時では陽極、陰極共に短時間通電の場合より其減増率は低下している事から見て、長時間通電での実際の滑走距離は前記の数値に較べて差程甚しい差はないものと思われ

る。

V. 結 語

1. 種々の通電電位及び通電時間の電気緊張時に於ける有髓神経上の 2 点を刺載し、单一絞輪より動作流を陰極線 Oscillograph に誘導記録して電流滑走を測定し比較検討した。

2. 電気緊張の通電時間を一定にし、其強さを変化させた場合、陽極通電では $1/2 E_{Rb}$ より $3/2 E_{Rb}$ までは次第に閾値の増大、電流滑走路離の減少を、又陰極通電では $1/2 E_{Rb}$ より $1 E_{Rb}$ までは、閾値の減少、電流滑走の増大を見た。

3. 電気緊張電位の強さを一定にし、通電時間を短時間 (60 msec) 及び長時間 (10 sec) に変化させた時、陽極通電では前者 (短時間) に較べ、後者 (長時間) では閾値の減少、電流滑走の増大を、陰極通電では短時間に較べ長時間では閾値の増大及び電流滑走の減少を見た。

4. 上記 (3) に述べた結果は次の興味深い現象を物語るものである。即ち電気緊張性の変化は通電直後に著明に発現するが、これは通電中、時間と共に弱まり、次第に対照例 (正常状態) に近づくものである。而してこのことは、伝導速度の変化が通電直後には甚だ著明であるが、通電中次第に弱まって行くという山中の研究とよく一致する。

5. 各刺載電圧の電流滑走により引き起された電位の拡り具合を極く概略にではあるが観察する事が出来た。

6. 以上の実験結果から種々の大きさの電気緊張電位及び短時間と長時間通電に於る種々の

電流滑走の状態を知ることが出来たものと考える。

擱筆するに臨み御懇篤なる御鞭撻と御校閲の勞を恭くした、慶応義塾大学医学部加藤元一教授に衷心より感謝の意を捧げ、終始御指導並びに御校閲を賜った教室主任伊藤秀三郎教授及び東京女子医科大学田中一郎講師に深く感謝の意を表し、絶えず実験に際して御助力下さった早稲田大学電気工学科杉本芳郎氏に深謝する。

文 献

- 1) E. F. W. Pflüger (1859) Physiologie des Elektrotonus
- 2) Lorente, do No' (1949) A Study of nerve physiol.
- 3) 鈴木正夫 (1951) 生理学講座：電気の刺戟作用
- 4) 鈴木正夫 (1956) 電気治療 **20**, 25
- 5) Scheninzky, F. (1930) Pflüger Arch. **225**, 145
- 6) Werigo, B. (1901) Pflüger Arch. **31**, 84
- 7) Max Vorworn (1949) Erregung und Lähmung
- 8) 牧 亮吉 (1924) 神経麻酔部位に於ける興奮伝導について 慶応医学 **4**, 245
- 9) 林 端 (1927) 電流滑走路離測定法、神經刺載電流の滑走に就いて (其 1) 慶応医学 **7**, 541
- 10) 久崎 章 (1931-1932) 電流滑走研究補遺 (1) (2) 慶応医学 **11**, 2241, **12**, 1
- 11) 加藤元一 (1954) 生理学上巻 291, 302
- 12) Kato, G. (1924) The theory of decrementless conduction in narcotised region of nerve 96
- 13) 清水忠夫 (1931) 剽出单一神経線維、单一筋線維標本の製作法 慶応医学 **11**, 1903
- 14) 井手頼之 (1940) ラ氏括約輪の生理学的研究 (其 3) 電流滑走の本態に就いて 慶応医学 **20**, 169
- 15) 田崎 敬 (1956) 单一神経線維に於ける電流滑走路離に就いて 日本生理誌 **18**, 8
- 16) 田崎一二 (1944) 神経線維の生理学
- 17) 本川弘一 (1957) 電気生理学
- 18) 佐藤昌康 (1956) 神経の興奮と伝導
- 19) Hodgkin, A. L. & A. F. Huxley (1952) J. Physiol. **117**, 500
- 20) 山中 煎 (1961) 单一有髓神経線維に於ける電気緊張時の興奮伝導速度に就いて 日本生理誌 **23**, 571

唾液分泌機構の神経生理学的研究 612.313.8:612.82:599.742.1

III. 大脳皮質唾液分泌領の機能特性

Studies on corticogenic salivary secretion in the dog

(本論文の要旨は第8回中枢神経シンポジウム(1961)に於いて発表した。)

船 越 正 也 (FUNAKOSHI-Masaya)*

In this experiment 17 dogs were used. The exact cortical location of the spots which instigate the salivary secretion was determined, and the effect of an ablation of this area to a reflex salivation was also observed. Additionally the viscosity and chemical components of corticogenic and chorda saliva were compared.

- 1) The cerebral cortical salivary area located in the gyrus compositus anterior of the dog. Corticogenic salivation usually accompanied by the masticatory movements. The parotid and submandibular secretion were always induced simultaneously by the electrical stimulation of this area. Homolateral salivary glands showed predominant secretion than those of the contralateral side.
- 2) The optimal parameters of square wave stimulation to induce salivation were 30-60 c/sec and 3-5 msec.
- 3) The saliva induced by the electrical stimulation of gyrus compositus anterior was more watery and contained less organic components than that of induced by direct stimulation of the chorda tympani nerve.
- 4) Possibility of the existence of cortical inhibitory area of salivation near the gyrus compositus anterior was suggested.

I. 緒 言

Ludwig (1851)¹⁾ の研究以来、唾液分泌の神経機構に関する研究は数多く報告されている。しかし、その大部分は末梢分泌機構についての研究であって、唾液分泌の中枢神経機構についてこれを系統的に行った研究は意外に少ない。一方分泌される唾液の量や成分、あるいはその生理学的性質が高位中枢機能の関係する種々の要因によって強く影響されることは古くから知られている。Tschilingarjan²⁾ は条件反射により分泌する唾液もその量や成分が条件刺激の強弱、あるいは陽性条件刺激か陰性条件刺激などによって著明に相違し、特にそのNとPの含量に著明な差のあることを示した。これは大脳皮質が唾液分泌に対して強力な調整機能を持つ

ていることを意味している。

また最近、中枢神経系の刺激あるいは切除実験から大脳皮質（運動知覚野、梨状葉皮質、海馬回、冠状回など）、嗅球、扁桃核、海馬、視床下部などに唾液分泌に関与する部分があり、それぞれ延髓唾液核にインパルスを送っていることが明らかになった。しかし、これら中枢各部の刺激あるいは切除実験もその研究目的が唾液分泌以外にあるものが多く、唾液分泌に関しては単に“分泌を認めた”と云う簡単な記載があるに止まっており、これら各中枢部位が生理的唾液分泌に如何なる役割を果しているかについては明らかにされていない点が多い。

本研究は、唾液分泌に脳の高位中枢がいかに関係しているかの詳細を明らかにするため行ったものである。特に本論文では、唾液分泌に関与する大脳皮質顔面野の生理学的役割につき記載した。

* 大阪大学歯学部口腔生理学教室(河村洋二郎教授)
Dept. of Oral-Physiol., Dental School, Osaka Univ.

〔昭和36年8月23日受付〕

II. 実験方法

実験には雌雄成犬 (8-10 kg) 17匹を使用し刺激実験と切除実験を行った。

1. 刺激実験：動物をアミパンソーダ麻酔下 (24 mg/kg) に腹位に固定し、両側耳下腺及び頸下腺に直径約 1 mm のビニール管カニューレを挿入した後、側頭筋を切除し前頭部及び側頭部を開頭して大脳皮質眼窩部を露出し、電子管刺激装置により該部を点状に前内側から後外側に向って広範囲に刺激し、唾液分泌誘発点の分布をまず確定した。刺激電極には尖端以外絶縁した直径 0.5 mm, 極間距離 0.2 mm の銀線双極電極を使用した。

電気刺激により唾液分泌を誘発する大脳皮質領につき、唾液分泌反応閾値、各唾液腺に対する神經支配、分泌態度、及び唾液成分を分析した。唾液の分泌態度は滴数計によりキモグラフィオン上に描記した。唾液成分は乾燥及び灰化して有機成分及び灰分の重量百分率を求めた。秤量には総べて島津製 L-2 型直示天秤 (感度 0.1 mg) を使用した。唾液のスペクトル分光分析には Beckman DK-2 型自記分光光度計を使用し、3 cc の試料につき、230 m μ から 340 m μ まで測定した。また唾液粘度測定には、Hess 氏粘度計を行い、水に対する唾液の比粘度を求める

た。

2. 切除実験：予め両側永久耳下腺瘻を作成した犬 3 匹を使用した。動物は無麻酔、無拘束の状態で 1% 酢酸を口中に注ぎ分泌される反射性唾液をガラス容器の付いたバロンチカにより採集した。採集時間は最初の分泌が生じてから 3 分間とした。左右耳下腺唾液の分泌量を一側皮質唾液分泌領切除の前後につき比較検討した。

III. 実験成績

1. 皮質唾液領の局在について

電気刺激により唾液分泌を誘発する大脳皮質部位は図 1 に示す如く Gyr. Compositus anterior に比較的限局して存在した。図は 30 c/sec, 1 msec, 20 V の矩形波刺激により同側頸下腺より分泌を起した点を示したものである。分泌率が 0.4 cc/min 以上の点は○印により、0.39-0.20 cc/min の点は●印により、0.19 cc/min 以下の点は・印により表した。×印は分泌を認めなかった点である。上記の如き唾液領を電気刺激すると、単に刺激側頸下腺のみならず刺激側耳下腺及び反対側の頸下腺、耳下腺からも分泌が認められた。耳下腺領と頸下腺領は明確に区別することは出来ず、頸下腺より著明な分泌を誘発する皮質点は耳下腺からも著明な分泌を生

じた。しかし第 1 表に示した如く、刺激側唾液腺と反対側唾液腺からの分泌量には著明な差が認められ、刺激側の唾液腺は常に反対側より約 2 倍の分泌量を示した。但し、Gyr. Compositus anterior の中心部をはなれ周辺部に行くに従って刺激側腺からは分泌が認められても反対側腺からは分泌の認められない点が増加した。又麻酔が深い場合や動物の全身状態の悪い場合には分泌は認められなかった。

唾液領の電気刺激により唾液分泌と共に下顎及び舌の咀嚼様運動が観察されたが、唾液分泌は第 2 図に示した如く常に咀嚼様運動に遅れて出現し、且

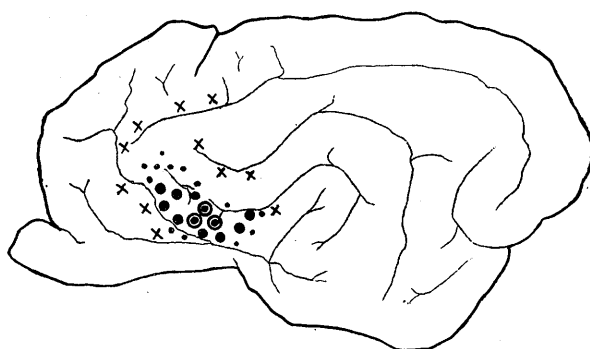


Fig. 1.
Schematic representation of submandibular salivary spots in the gyrus compositus anterior.
 ○ : Secretion at rate of more than 0.40 cc/min.
 ● : Secretion at rate of 0.39-0.20 cc/min.
 • : Secretion at rate of less than 0.19 cc/min.
 Secretion of less than 0.10 cc/min is not represented.

Table 1.

Differences of corticogenic parotid salivary secretion between stimulated side and contralateral side.

No. of dog	Stimulated spot	Volume of secretion	
		Stimulated side cc.	Unstimulated side cc.
9	1	0.25	0.10
	2	0.21	0.08
	3	0.30	0.14
	4	0.26	0.13
12	1	0.46	0.24
	2	0.50	0.30
	3	0.63	0.37
	4	0.91	0.55
	5	0.69	0.42
13	1	0.29	0.21
	2	0.20	0.12
	3	0.33	0.21
	4	0.31	0.21
	5	0.36	0.25

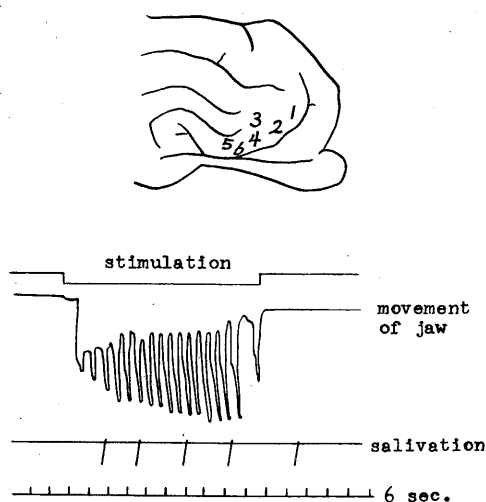


Fig. 2.

Relationship between corticogenic salivation and jaw movement.

Table 2.

Threshold voltages of the corticogenic and chorda tympani salivary secretion. pulse frequency is fixed at 30 c/sec and pulse duration is fixed at 1 msec.

Dog \ Stimulated location	Threshold Voltage	
	Gyrus compositus anterior	Chorda tympani
No. 7	18-20	2.0
No. 8	40	4.0
No. 9	30	2.5
No. 10	15-20	1.5-2.0

つ刺激中止後も後分泌が認められた。しかし、機械的に咀嚼運動を阻止しても唾液分泌は何ら影響されなかった。

以上の成績より、犬の皮質唾液領は Sulcus Presylvius と Sulcus Suprasylvius ant. に挟まれた Gyr. Compositus ant. の部分に局在し、同側優位の神経支配を有するが同側の顎下腺領と耳下腺領は重り合って区別出来ず、且つ咀嚼領と略々一致して存在する事が明らかとなつた。

2. 皮質唾液領の被刺激性について

電気刺激により唾液分泌を来たす閾値電圧は個体や動物の麻酔度、刺激条件により著明に相違する。しかし同一動物につき、同一条件下で皮質唾液領を刺激した時と鼓索神経を刺激した時の閾値電圧を顎下腺分泌を指標として比較すると第2表のごとくである。即ち刺激条件が 30 c/sec, 1 msec の場合、鼓索刺激時の閾値は 1.5-4.0 V であったが Gyr. Compositus ant. 中最も唾液分泌の著明な点を刺激した時の閾値は 15-40 V で鼓索神経のそれにくらべ約10倍高い電圧を必要とした。さらに前肢筋または後肢筋の収縮を示標として測定した皮質運動領 (Gyr. Precruciatu) の反応閾値は 5-10 V で唾液分泌を来たす皮質刺激の閾値は運動領の約 3-4 倍

Table 3.

Frequency of stimulation and threshold voltage of salivary secretion.

* : cortex stimulation.

** : chorda tympani stimulation.

pulse duration is fixed at 1 msec.

Frequency c/sec	Threshold voltage				
	Dog* No. 6	Dog* No. 8	Dog* No. 10	Dog* No. 11	Dog** No. 7
5	26	100	60	65	2.0
10	22	90	25	22	1.5
20	21	80	20	20	1.5
30	20	60	18	18	1.5
40	20	60	20	18	2.0
50	20	60	20	22	2.0
60	20	60	20	30	2.0
70	22	70	40	40	2.0
80	24	80	40	40	2.0
90	25			60	50
100	26			60	55

Table 4.

Relation between pulse-duration and threshold voltage of salivary secretion.
Frequency of the stimulation is fixed at 30 c/sec.

Threshold Voltage

Pulse Duration (msec)	Dog No. 7	Dog No. 8	Dog No. 12	Dog No. 13
0.01	40	60	150	150
0.05	30	40	80	130
0.1	20	28	60	70
1.0	10	15	40	25
3.0	6	8	20	20
5.0	8	8	30	20
10	8	9	50	20
20	10	9	50	30

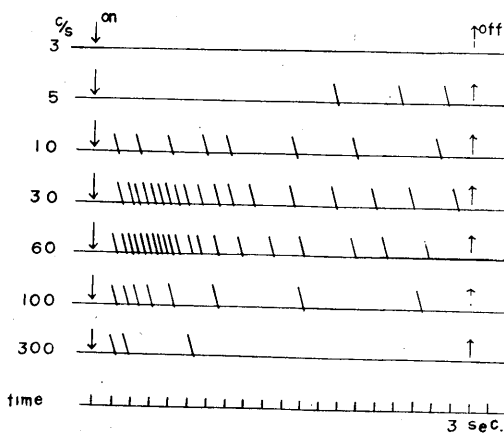


Fig. 3.

Relationships between frequency of stimulation and patterns of corticogenic salivary secretion.
pulse duration: 3 msec, voltage: 25 volt.

Table 5.

Comparision of salivary composition between corticogenic saliva and chorda saliva.

R. F. : rate of salivary outflow.

Org. : organic matter.

Ash : ashes.

Stimulated location	Gyr. compositus ant.			Chorda tympani		
	R. F. g/min.	Org. %	Ash %	R. F. g/min.	Org. %	Ash %
Dog No.						
6	0.15	0.22	0.30	0.18	1.37	0.47
6	0.22	0.24	0.20	0.28	1.17	0.58
7	0.49	0.10	0.48	0.61	0.49	0.60
9	0.30	0.29	0.41	0.34	0.61	0.50
24	0.56	0.28	0.52	0.54	0.81	0.46
25	0.52	0.26	0.43	0.53	0.91	0.45

であった。しかし Gyr. Compositus ant. の刺激により誘発される咀嚼運動と唾液分泌の間に反応閾値に差は認められなかった。

次に唾液分泌を来たす電気刺激の刺激頻度と閾値電圧の関係を Gyr. Compositus ant. と鼓索神経につき比較した(第3表)。皮質刺激では 30-60 c/sec の刺激波の場合唾液分泌を来たす閾値電圧は最小の値をしめした。一方、鼓索神経刺激では、10-30 c/sec の時閾値電圧は最小であった。第4表は Gyr. Compositus ant. を 30 c/sec で刺激した場合のパルス幅と閾値電圧の関係をしめしたものである。パルス幅が 3-5 msec の刺激波の場合、閾値電圧は最小の値を示した。

以上の結果にもとづき、パルス幅 3 msec、刺激電圧 25 V に一定し、刺激頻度を 3 c/sec から 300 c/sec まで変化させて、Gyr. Compositus ant. を 1 分間持続刺激し、刺激側頸下腺よりの分泌態度を比較した。第3図の如く、3 c/sec では分泌は認められず、5 c/sec 刺激で潜時約40秒、3滴の分泌を認めた。これ以上の刺激頻度では分泌潜時は何れも約4秒となり著変を認めなかつたが分泌量は 30-60 c/sec 刺激で最も多く 18-20 滴に達した。しかし 100 c/sec 刺激では分泌量は却つて減少し 1 分間 8 滴の分泌となり、300 c/sec では 3 滴の分泌を認めたにすぎなかつた。

以上の如く、Gyr. Compositus anterior は 30-60 c/sec、3-5 msec の矩形波刺激の場合、他の刺激より低い電圧で著明な唾液分泌を認めた。

3. 皮質刺激により分泌される唾液の性状について

大脳皮質唾液領の電気刺激により分泌される唾液は極めて水様性で鼓索刺激により分泌する唾液の如き粘稠性は認められなかつた。両唾液間に存在するこの様な性状の差を更に詳細分析するため同一動物につき、同一条件下で Gyr. Compositus ant. を刺激し分泌した頸下腺唾液と鼓索神経を直接刺激して分泌した頸下腺唾液の各種性状を比較した。

Hess 氏粘度計により測定した唾液の水に対する比粘度は皮質性唾液で 1.5-1.7, 鼓索神經刺激により得た唾液では 8.4-10.4 となり, 鼓索性唾液の粘度は皮質性唾液のそれの 6 倍近い値を示した。

大脳皮質性唾液と鼓索性唾液についてその分泌率と有機成分, 無機成分の比率の関係を第 5 表に示した。即ち分泌率と無機成分(灰分)の濃度には両者の間に大差を認めず, 同一動物ではほぼ一定の値を示したが, 有機成分は鼓索神經刺激により得た唾液では分泌唾液の 0.49-1.37% であるに比較し, Gyr. Compositus ant. の刺激により分泌した唾液は 0.10-0.29% で, 鼓索唾液の約 1/5 にすぎなかった。

この両唾液間に存在する有機成分含量の差の意義を明らかにするため両唾液をスペクトル分析した結果は第 4 図のごとくであった。即ち, 蒸溜水を対照とした時, 皮質性顎下腺液は 278 m μ に最も著明な吸収を示し, 290 m μ と 258 m μ および 310 m μ にもゆるい山を持つ吸収曲線が得られた(第 4 図, 細線 A)。鼓索性唾液は極めて多量の有機成分を含有するため蒸溜水を対照としてスペクトルをとることは困難であり, しかも鼓索性唾液を稀釀する適当な溶媒製作が困難なのでこの皮質性顎下腺唾液を対照として, これと鼓索性唾液との差スペクトルを

とった。この差から両唾液間に存在する有機成分の濃度差を比較した。第 4 図の太線 (B) にしめした如く 278 m μ の山は一層著明となり, 258 m μ および 283 m μ に新しい山が認められた。なお, 290 m μ の山は消失した。

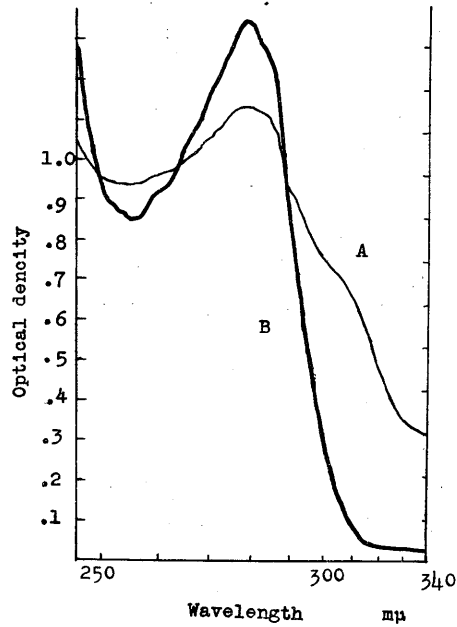


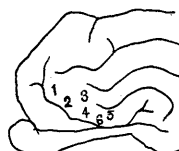
Fig. 4.
Absorption spectra of saliva.
A : absorption spectrum of corticogenic saliva.
B : difference spectrum between corticogenic saliva and chorda saliva.

Table 6.

Comparision of components of corticogenic saliva from six salivary spots of the cerebral cortex

Stimulated location	Dog No.7			Dog No.9			Dog No.12			Dog No.13		
	R.F. g/min.	Org. %	Ash %									
1	0.24	0.10	0.41	0.25	0.30	0.52	0.46	0.40	0.45	0.19	0.48	0.19
2	0.16	0.16	0.31	0.21	0.42	0.60	0.50	0.15	0.79	0.23	0.38	0.18
3	0.49	0.10	0.48	0.30	0.29	0.41	0.62	0.19	0.64	0.41	0.26	0.33
4	0.42	0.11	0.29	0.26	0.43	0.70	0.91	0.16	0.73	0.41	0.37	0.47
5	0.37	0.10	0.22				0.68	0.29	0.49	0.34	0.41	0.35
6	0.21	0.16	0.37							0.33	0.23	0.50

R.F. : rate of salivary outflow
Org. : organic matter
Ash : ashes

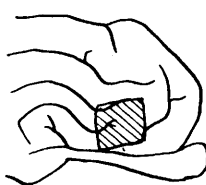


次に, Gyr. Compositus ant. 中の 6 点を選び夫々 30 c/sec, 1 msec, 20 V の矩形波刺激で得られた顎下腺唾液の分泌率, 有機成分, 無機成分を比較し, 皮質刺激部位により分泌唾液の性状がいかに変化するかを分析した。第 6 表に示した如く, 各点の刺激により分泌した唾液の有機成分は動物によりまた各刺激部位により多少の差が認められた。しかし何れの場合でも鼓

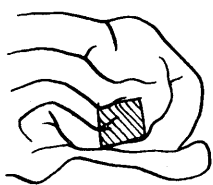
Table 7.

Frequencies of electrical stimulation and compositions of corticogenic saliva.

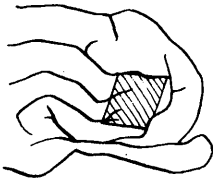
Dog No.	No. 1			No. 6			No. 10		
	c/s	R. F.	Ore.	Ash	R. F.	Org.	Ash	R. F.	Org.
10	0.12	0.20	0.45	0.48	0.18	0.43	0.22	0.29	0.32
30	0.14	0.35	0.18	0.67	0.27	0.33	0.64	0.25	0.36
60	0.34	0.32	0.49	0.53	0.19	0.64	0.26	0.27	0.35
90	0.14	0.23	0.20	0.31	0.26	0.36	0.28	0.27	0.36



Dog No. 1



Dog No. 3



Dog No. 11

Fig. 5.

Areas of cortical ablation.

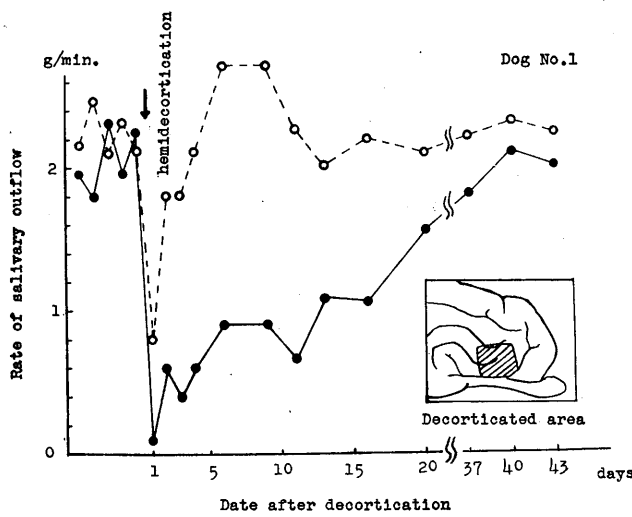


Fig. 6.

Effect of hemidecortication to reflex parotid secretion.
broken line : secretion from contralateral side gland.
solid line : secretion from decorticated side gland.

素神經刺激により分泌した唾液の有機成分含量が 0.49-1.37% であるのにくらべてはるかに有機成分の含量は少なく 0.10% から多い場合で 0.48% の間に分布した。

電気刺激の性質と分泌唾液の成分との関係は第 7 表に示した如くである。パルス幅 1 msec, 刺激電圧 20-30 V に一定し, 10 c/sec, 30 c/sec, 60 c/sec, 90 c/sec の 4 群の刺激を用い Gyr.

Compositus ant. 中, 最も著明な分泌を来たす中央部を刺激して分泌される唾液の成分を比較した。唾液中の有機成分, 灰分は動物により個体差があり, 又刺激波の頻度によっても相違するが有機成分の濃度は全例を通じて 0.18-0.35% であった。

以上の成績から犬の大脳皮質 Gyr. Compositus ant. を電気刺激し分泌される唾液は刺激条件や刺激部位に拘らず鼓索神経を直接刺激して分泌する唾液より有機成分の少い稀薄な唾液であることが明らかとなつた。

4. 一侧皮質唾液分泌領切除の唾液分泌量に及ぼす影響

両側永久耳下腺瘻を有する犬 3 匹につき一侧大脳皮質唾液領切除が左右唾液腺分泌量にいかなる変化をおよぼすかを分析した。なお, 唾液は 1% 酢酸を徐々に口腔に与えて分泌させ分泌開始後 3 分間の総耳下腺唾液量を測定した。術前これら動物の左右耳下腺唾液分泌量は動物 No. 1, No. 3 では特記すべき左右差が認められず左右腺よりの分泌比はほぼ 1.0 であった。

これに対し動物 No. 11 は常に右側耳下腺よりの分泌が左側腺のそれより幾分多量でその左右の分泌比は平均 1:1.2 であつ

た。これら3匹の動物の右側 Gyr. Compositus ant. およびその周辺を第5図に示す如き範囲に夫々切除した。3例とも術後第1日において切除側の唾液分泌量が著明に減少しただけでなく反対側の分泌も減少した。即ち、動物No.1の術後第1日の分泌量は右側（切除側）0.09g、左側（健全側）0.81gで術前対照値に比し切除側の分泌が約1/20、健全側が1/3に減少した。しかし切除側と健全側の分泌比は1:9となり、術前平均1:0.96であったのにくらべ切除側耳下腺の分泌が特に強く抑制されたと云える。動物No.11では切除側0.88g、健全側1.32gで術前にくらべ切除側の分泌が約1/2、健全側はほぼ等しく切除側と健全側の分泌比は1:1.5となった。この場合も術前の左右腺分泌量比が1:1.2であったのにくらべると切除側の抑制が著明である。動物No.3は術後第1日の正確な分泌量は測定出来なかつたが第2日では切除側0.48g、健全側1.23gで術前の対照にくらべ切除側の分泌は約1/4、健全側は著変なく、切除側と健全側の分泌比は1:3.6となった。しかし術後に認められた上記分泌の抑制は両側共に漸次回復の傾向が認められた。動物No.1およびNo.11について手術前後の唾液分泌経過を第6、7図に示した。動物No.1は皮質切除側の分泌量が術後40日でほぼ術前の値に回復した。一方健全側の分泌量は術後4日で術前の値に回復し、術後6-9日ではかえって一過性に術前の約1.2倍に増加した。それ以後再び減少し術後16日でほぼ術前の値に戻った（第6図）。

動物No.11の皮質切除部は動物No.1に比しやや上部であったが第7図に示す如く、この例では切除側の分泌量は術後3日で術前の値に回復し、以後ほぼその値を保った。健全側の分泌量は術後第3日目で逆に著明に増加し術前の約2倍に達し以後徐々に減少を示したが、術

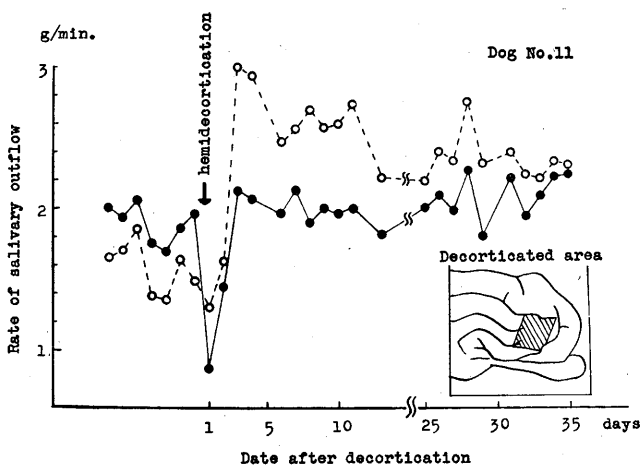


Fig. 7.

Effect of hemidecortication to reflex parotid secretion.
broken line : secretion from contralateral side gland.
solid line : secretion from decorticated side gland.

後30日でも依然として術前の約1.4倍の分泌を示した。

以上の結果から、大脳半球皮質は同側唾液腺を優位に支配し、同側唾液腺分泌に対し促進的に働いている。この大脳皮質唾液分泌領野を一側性に切除して生じた同側唾液腺の分泌抑制は切除約1ヶ月で正常に回復するものである。更に一側唾液腺の分泌が皮質切除により抑制された場合、反対側唾液腺は代償性に分泌亢進を示すことが明らかになった。

IV. 考 察

大脳皮質機能と唾液分泌との関係は条件反射学者達によって特に広く研究されて来た。大脳皮質刺激によって唾液が分泌されるることは古く Lepine & Bochenfontaine³⁾ (1875) によって報告されたことで、彼等は犬の Gyrus Coronarius を感應電気刺激し、顎下腺より水様性の唾液が分泌され、刺激側の腺よりの分泌が反対側のそれより著明な事を認めた。その後 Bechterew⁴⁾、Eckhard⁵⁾らも同じく Gyrus Coronarius, Gyrus Sigmoideus, Gyrus Sylvius の刺激で顎下腺のみならず耳下腺からも分泌することを述べた。

特に富田、戸塚⁶⁾、戸塚⁷⁾、戸塚、有田、青木⁸⁾、平山⁹⁾、三神¹⁰⁾らが犬の大脳皮質運動野を電気刺激して生ずる痙攣に伴う唾液分泌を取り上げ、その分泌機構を詳細に分析した。彼等の研究成績から痙攣に伴う唾液分泌は皮質に発現機序を持ち、顔面運動野から視床を経て、延髄唾液核にインパルスが送られるものである。しかし極めて微弱な大脳皮質刺激ででも分泌が誘発される唾液分泌機構を全身痙攣という特殊な環境下で分析しているということに多少問題がある。

この皮質部位を刺激して生ずる唾液分泌は口腔感覚と食餌反射とが結びついた条件反射性唾液分泌であるか否かは別として、猿について Vogt & Vogt¹¹⁾ および Walker & Green¹²⁾ らが、又猫について Velo & Hoff¹³⁾ も明らかにしている如く各種動物について大脳皮質運動領が強力に唾液分泌を支配していることは明らかである。著者が犬で得た唾液分泌を誘発する皮質領野も顔面口腔の運動と感覚に関与する Gyr. Compositus anterior であった。自律神経機能に対する大脳皮質の調節作用に関して Spiegel¹⁴⁾ (1928) は、ある自律性器官に作用する皮質領域とその器官に近接する体性器官に作用する皮質中枢とはほぼ一致して局在している事を指摘した。著者が犬の皮質刺激で唾液分泌をみとめた Gyr. Compositus ant. も皮質咀嚼領と重り合っており、Spiegel の報告と一致する。Zotterman ら¹⁵⁾ (1957) が舌の求心性衝撃の皮質投射領として報告したのも上記皮質唾液領とほぼ同じである。又、Babkin¹⁶⁾¹⁷⁾ ら (1950) が犬について眼窩回の刺激により胃の運動が抑制されることを報告している。従って、著者らが刺激して唾液分泌を誘発した領野は唾液分泌のみに関与する唾液分泌中枢ではなく口腔領域の体性、知覚性及び自律性反応に関する総合中枢であると考えられる。皮質唾液領に顎下腺領と耳下腺領を区別し得なかった事実や唾液分泌と咀嚼運動を誘発する至適パラメーターに差がなく被刺激性が同じであった事実などはこの領野が総合中枢であると考えれば容易に理解される。

次に皮質唾液領から唾液腺に至る伝導路は未だ充分には明らかにされていない。平山⁹⁾によれば視床を介し、延髄唾液核に至るという。最近の Velo ら¹³⁾の猫についての研究では Vaso-motor fiber と共に lat. Funiculus の背側部と腹側部の結合部を下ることが明らかにされている。分泌量の相違から同側優位の神經支配が推測され、大脳皮質の両半球の連絡を断った後も反対側よりの分泌が認められたことから反対側唾液腺への神經支配は皮質下で一部が交叉しているものと考えられる。四肢の汗腺、皮膚、血管、起毛などの自律性反応に対する皮質支配はすべて反対側支配であるに反し、唾液腺は同側優位の支配を受けている。これは咀嚼筋に対する皮質支配が四肢筋とは異なり同側優位であることから、皮質唾液領より出る自律性神經は同部より出る体性神經と密接な関係を保って下降しているものと思われる。

唾液成分の中、有機成分は腺細胞より、無機成分と水分は主として条紋部の上皮細胞より分泌されることが多い学者により指摘されている。又 Hellauer & Schneider¹⁸⁾ (1941) は鼓索神經中には水分と無機成分の分泌に関与する神經線維と有機成分の分泌を調節する神經線維の 2 種類があることを鼓索の刺激実験により示唆している。本実験において示された如く、皮質刺激により分泌する唾液は鼓索刺激により分泌する唾液より遙かに有機成分の少い水様性唾液であった事実は交感神経性唾液や副交感神経性唾液と云う概念では説明できない。副交感神経性唾液より更に稀薄な唾液が分泌されるためには、鼓索中に水分及び塩類の分泌に関与する線維と、有機成分の分泌に関与する線維があり、大脳皮質唾液領から下降する線維は主として水分及び塩類の分泌に関与する線維に連絡しているものと考えられる。

Geller & Rovelstad¹⁹⁾ は人耳下腺唾液のスペクトル分光分析を行い $280 \text{ m}\mu$, $415 \text{ m}\mu$, $260 \text{ m}\mu$ 及び $290 \text{ m}\mu$ に peak があること、及び $280 \text{ m}\mu$ は albumin, $415 \text{ m}\mu$ は haemoglobin, $260 \text{ m}\mu$ は nucleoprotein, $290 \text{ m}\mu$ は uric acid による

吸收であると述べている。我々が犬の顎下腺唾液で得た吸收曲線では $415 \text{ m}\mu$ には吸收は見られなかつたが他の値はほぼこれと一致していた。

次に Pavlov²⁰⁾ らの報告によれば大脳両半球を剥離すると直後は無条件唾液反射は強く制止を受けるがその後再び現われて正常値を遙かに越えるようになること及び条件反射は完全に消失し新しい条件反射の形成も出来なかつたと述べている。又大脳の部分剥離による唾液条件反射の消失は大脳両半球の前半分を剥離した場合にのみ認められ、その他の部分の剥離では何れも条件反射が形成されている。宇野²¹⁾ (1951) は大脳皮質の一側広範剥離により術側耳下腺分泌のみ減少することを報告し、巫²²⁾ (1960) は一側大脳半球剥離により無条件、条件両反射唾液量は剥離側では共に減少するが反対側は増大し、そのため一側大脳半球剥離犬の左右耳下腺活動には著明な差を生じたと述べている。これら先人の切除部位には何れも著者らが明らかにした皮質唾液領が包含されており当然の結果と云える。著者は刺激実験により確認した皮質唾液分泌野のみを一側切除することにより反射性耳下腺分泌が手術直後は同側が著明に減少し、反射側もかなり抑制されること、及び切除が唾液領上部に及ぶと反対側唾液腺の分泌量は術後間もなくかえって著明に増加することを観察した。しかし、唾液領上部に反対側唾液腺分泌を抑制する機能があるか否かは尚充分明らかではない。

上述の如く、大脳皮質唾液領には各唾液腺に対する支配領の分布に相異がないこと、刺激部位が相違しても唾液成分に著変のないこと、この部位を切除しても食餌性反射唾液の成分に著変を及ぼさないなどの事実から我々は大脳皮質唾液領は唾液成分の調節に強力に関与するとは考え難い。

一方、大脳皮質唾液領の刺激により分泌される唾液は鼓索を直接刺激して得た唾液より有機成分が少なく、極めて粘度の低い水様性唾液であることから、皮質唾液領は咀嚼運動に際し、

これを円滑に行なわしめる様協同的に作用すべく唾液を分泌させる、咀嚼運動と密接な関連を有する部位と考えられる。

V. 総括

1. 犬について電気刺激により耳下腺、顎下腺より唾液分泌を来たす大脳皮質部位は Gyrus Compositus anterior に限局して認められ、同側優位の神經支配を有する。
2. Gyrus Compositus anterior 刺激で顎下腺及び耳下腺共に分泌を來した。
3. Gyr. Compositus ant. は $30-60 \text{ c/sec}$, $3-5 \text{ msec}$ の矩形波刺激の場合、その他の刺激波の場合よりも最も著明な唾液分泌を示した。
4. 犬の大脳皮質 Gyr. Compositus ant. を刺激し分泌する唾液は刺激条件や刺激部位に拘らず、鼓索神經直接刺激により分泌する唾液にくらべ有機成分の極めて少い水様性唾液であった。
5. Gyr. Compositus ant. の亢奮により生じる唾液分泌は咀嚼運動に附随し、それを円滑に行なわしめるためのものであり、この部の周辺に反対側唾液分泌を抑制する機能のあることを考察した。

稿を終るに臨み、終始御懇篤なる御指導と御校閲を賜った河村洋二郎教授に対し、衷心より感謝致します。

文獻

- 1) Ludwig, C. (1851) Neue Versuche über die Beihilfe der Nerven zur Speichelabsonderung. Zschr. Rat. Med. N. F., 1, 255
- 2) Tschilingarjan, L. T. (1957) Quantitative Veränderungen des Speichels bei Verschiedenen Funktionszuständen der Grosshirnrinde des Hundes. Pawlow-Zeitschrift für höhere Nerventätigkeit 7, 253-262
- 3) Lépine, and Bochenfontaine (1875) L'influence de l'excitation du cerveau sur la sécretion salivaire. Gaz. med. de Paris 332
- 4) Bechterew, W. von (1911) Die Rinden Centra der Speichelsecretion. Die Funktion der Nerven Centra. 3, 1705-1713
- 5) Eckhard, C. (1889) Die Speichelsecretion bei Reizung der Grosshirnrinde. Neural. Centralbl. 8, 65-67

- 6) 富田勝郎・戸塚善之助(1939) 大脳皮質各部の刺戟と後經撃及び耳下腺後分泌との関係 条件反射 **1**, 52-57
- 7) 戸塚善之助(1939) 大脳皮質刺戟によって起る癲癇様痙攣に伴う唾液分泌並にその神経司配 条件反射 **2**, 138-149
- 8) 戸塚善之助・有田宗太郎・青木清四郎(1939) 大脳皮質刺戟によって起る顎下腺分泌の組織細胞学的研究 条件反射 **2**, 150-157
- 9) 平山雅康(1943) 唾液分泌に関する大脳皮質復現に就いて 条件反射 **8**, 295-304
- 10) 三神 佑(1936) 大脳皮質刺戟による癲癇様痙攣及び耳下腺唾液分泌に就いて 慶應医学 **16**, 2123-2129
- 11) Vogt, O. and C. Vogt (1919) Ergebnisse unserer Hirnforschung. J. Psychol. Neural. **25**, 277-465
- 12) Walker, A. E. and H. D. Green (1938) Electrical excitability of the motor face area: A comparative study in primates. J. Neurophysiol. **1**, 152-165
- 13) Velo, A. G. and E. C. Hoff (1961) Salivary responses to cortical and sciatic stimulation. Am. J. Physiol. **200**, 46-50
- 14) Spiegel, E. A. (1928) Die Zentren des Autonomen Nervensystems pp 174, Berlin, Springer
- 15) Cohen, M. J., S. Landgren, L. Ström and Y. Zotterman (1957) Cortical reception of touch and taste in the cat. Acta Physiol. Scand. **40**, Suppl. **135**, 1-50
- 16) Babkin, B. P. and T. J. Speakman (1950) Cortical inhibition of gastric motility. J. Neurophysiol. **13**, 55-63
- 17) Babkin, B. P. and W. C. Jr. Kite (1950) Central and reflex regulation of motility of pyloric antrum. J. Neurophysiol. **13**, 321-334
- 18) Hellauer, H. and M. Schneider (1941) Über die Gewinnung eines Verdünnungs und eines Gleitseippeichels durch alleinige Reizung der Chorda tympani Vegetativer Nerven. Pflüg. Arch. ges. Physiol. **244**, 292
- 19) Geller, J. H. and G. H. Rovelstad (1957) Spectrophotometry of saliva. J. Dent. Res. **36**, 745-749
- 20) イワン・ペトロウイチ・パヴロフ著;林 騰訳 (1943) 条件反射学 三省堂 東京
- 21) 宇野俊雄(1959) 耳下腺唾液分泌の中枢機構について 阪大医学誌 **11**, (6) 37-42
- 22) 巫 水綿(1960) 一侧大脳半球剥除の条件反射に及ぼす影響 日本生理誌 **22**, (3) 134-146

昭和35年度生理学論文表題集(終)

(日本生理学雑誌に掲載の原著並びに抄録を含む)

大阪市立大学医学部生理学教室

- 1) 高木喬・中野兵太郎・浦田正行(1960. 1) 暗及び明網膜から遊離するアセチルコリン様物質について 大阪市立大医誌 **9**, 1
- 2) 松王喬(1960. 1) 尿泡沫反応による癌診断例の病理組織学的考察 大阪市立大医誌 **9**, 283
- 3) 佐多誠之(1960. 2) 血球の比較生理学的研究(第2報) 大阪市立大医誌 **9**, 307
- 4) 弘中義夫・今永明正・細谷雄二(1960. 3) 視紅より生ずる橙色感光物質について 大阪市立大医誌 **9**, 675
- 5) 林文彦・樋口和子(1960. 4) 光電光度計による蛙黑色素胞運動の観察 大阪市立大医誌 **9**, 1333
- 6) 樋口和子(1960. 5) 黒色素胞運動に関する知見補遺 大阪市立大医誌 **9**, 1541
- 7) 今井英夫(1960. 6) 筋電図法による腹壁反射について 大阪市立大医誌 **9**, 2015
- 8) 青木一郎・松王喬・卜部高史(1960. 9) 尿泡沫反応の癌診断への適用について 大阪市立大医誌 **9**, 2703
- 9) 青木一郎・細谷雄二・松王喬(1960. 9) 改良女子尿泡沫反応試験法の癌診断への適用について 大阪市立大医誌 **9**, 2709
- 10) 中野兵太郎(1960. 9) 視紅再生および暗順応に対するベタインの効果 大阪市立大医誌 **9**, 3121
- 11) 青木一郎・佐多誠之(1960. 10) 尿泡沫反応の各種ストレスによる影響 大阪市立大医誌 **9**, 3205
- 12) 佐多誠之(1960. 10) 血球の比較生理学的研究(第3報) 大阪市立大医誌 **9**, 3741
- 13) 細谷雄二・羽間収治・弘中義夫(1960. 11) Maxwell's Spotの研究 大阪市立大医誌 **9**, 3793
- 14) 古河太郎・古河彰子・笹岡忠郎(1960. 11) 可撓性に支持した微小電極による終板電位の研究 大阪市立大医誌 **9**, 4055
- 15) 羽間収治(1960. 12) 網膜血流の内視現象に関する知見補遺 大阪市立大医誌 **9**, 4537
- 16) 古河太郎・古河彰子・笹岡忠郎(1960. 12) 運動神経末端に対するアンモニウムイオンの作用に関する知見補遺 大阪市立大医誌 **9**, 4739
- 17) 笹岡忠郎(1960. 12) Tetrodotoxinの神經筋接合部及び神經線維に対する作用について 大阪市立大医誌 **9**, 4745
- 18) 鈴木達雄(1960. 12) 網状赤血球分離に関する知見補遺 大阪市立大医誌 **9**, 5113
- 19) 後藤英二・鈴木達雄・栗根秀雄(1960. 12) Rapid Scanning Spectrophotometerによる赤血球浮遊液の観察 大阪市立大医誌 **9**, 5119
- 20) 栗根秀雄(1960. 12) カーテーション・ダイバー検圧法による分離雞紡錘形細胞の酸素消費について

大阪市立大医誌 **9**, 5209

- 21) 野村正吉(1960. 12) 生体内視紅再生に対するビリルビンの作用について 大阪市立大医誌 **9**, 5215
- 22) 木下喜博・栗根秀雄・鈴木達雄(1960. 12) TTCによる雞各種分離血球の観察 大阪市立大医誌 **9**, 5221
- 23) 今永明正(1960. 12) 眼球内注射法による視紅再生知見補遺 大阪市立大医誌 **9**, 4891
- 24) 弘中義夫(1960. 12) 成人女性尿中の心臓抑制物質に関する研究補遺 大阪市立大医誌 **9**, 5133
- 25) 青木一郎・佐多誠之・今永明正・野村正吉(1960. 12) 火傷又は手術後の尿泡沫反応について 大阪市立大医誌 **9**, 5225
- 26) 久家清・辻健三・並川清(1960. 12) オキシグラフによる溶液中酸素濃度測定に関する基礎的研究 大阪市立大医誌 **9**, 5231
- 27) Yoshihiro, Kinoshita, Heitaro, Nakano, Naoyoshi, Sugimoto, Yuji, Hosoya (1960) Studies on the relation between the lipotropic substances and their transmethylation upon the rhodopsin synthesis in vitro. Osaka City Med. J. **6**, 17
- 28) Naoyoshi, Sugimoto, Yoshihiro, Kinoshita (1960) Comparative physiological study of pigment contained in the Eggshell of various birds. Osaka City Med. J. **6**, 25
- 29) Fumihiro, Hayashi (1960) Studies on free coproporphyrin and protoporphyrin in reticulocytes separated by means of multi-layer centrifugation. Osaka City Med. J. **6**, 39
- 30) Eiichi, Kimura, Iwao, Enomoto, Hideo, Awane, Yoshihiro, Kinoshita (1960) Studies on functions of leucocytes separated from whole blood. I. A method for separating live leucocytes from whole blood by means of multi-layer centrifugation. Osaka City Med. J. **6**, 49
- 31) Isao, Hanawa, Kiyoshi, Kuge, Juntsu, Saito (1960) Thiocytic acid contained in visual cell. Science, **132**, 1668
- 32) Eiichi, Kimura, Tatsuo, Suzuki, Yoshihiro, Kinoshita (1960) Separation of reticulocytes by means of multi-layer centrifugation. Nature, **188**, 1201

大阪医科大学中西生理学教室

- 1) 西中弘・大口文雄(1960) 副神経中の自律神経線維 日本生理誌 **22**, 60
- 2) 西中弘(1960) 舌下神経中の自律神経線維 日本生理誌 **22**, 153-154
- 3) 中西政周・西中弘(1960) 脊髄神経節中の自律神経細胞について 日本生理誌 **22**, 273-274
- 4) 中西政周・西中弘(1960) 脊髄神経節中の自律神

- 経細胞について(続報) 日本生理誌 **22**, 514-515
 5) 中西政周・西中 弘(1960) 三叉神経中の自律神經線維 日本生理誌 **22**, 739

関西医大第1生理学教室

- 1) Kaichi, Kotsuka, Hiroe, Naito (1960. 3) The pupillodilating action of the oculomotor nerve of bull-frogs ——Efferent parasympathetic double innervation of the circular muscle of the iris—— Med. J. Osaka Univ. **10**, 397-411
- 2) Kaichi, Kotsuka, Hiroe, Naito (1960. 7) The pupilloconstricting action of "sympathicus via posterior root" of bull-frogs ——Efferent sympathetic double innervation of the radial muscles of the iris—— Med. J. Osaka Univ. **11**, 49-68
- 3) Kaichi, Kotsuka, Hiroe, Naito (1960. 7) A study on sympathetic nerve control in the cardiac activities of cold blooded animals. 1. On heart inhibitory action of Kotsuka's "sympathicus via posterior root". Med. J. Osaka Univ. **11**, 35-48
- 4) 幸塚嘉一・内藤博江(1960. 2) 三叉神経性瞳孔運動神経支配 医学と生物学 **54**, 148-152
- 5) 幸塚嘉一・内藤博江・堀川惺子(1960. 3) 三叉神経性瞳孔運動神経について ——遠心性三叉神経性二重支配 —— 関西医大誌 **12**, 1-7
- 6) 幸塚嘉一・内藤博江・堀川惺子・木村保子(1960. 3) 三叉神経性瞳孔運動神経について ——三叉神経性瞳孔縮小神経の cell-station —— 関西医大誌 **12**, 9-12
- 7) 幸塚嘉一・内藤博江・大西良子(1960. 8) "脊髄後根交感神経" (eff.) の瞳孔縮小作用について V. Neurochemical transmission (a) 医学と生物学 **56**, 122-128
- 8) 幸塚嘉一・内藤博江・大西良子(1960. 9) "脊髄後根交感神経" (eff.) の瞳孔縮小作用について VI. Neurochemical transmission (b) 医学と生物学 **56**, 151-155
- 9) 幸塚嘉一・内藤博江・大西良子(1960. 9) "脊髄後根交感神経" (eff.) の瞳孔縮小作用について VII. Neurochemical transmission (c) 医学と生物学 **56**, 191-195
- 10) 幸塚嘉一・内藤博江・大西良子(1960. 11) 三叉神経性瞳孔運動神経支配 ——三叉神経性瞳孔縮小神経および三叉神経性瞳孔散大神経の origin について 医学と生物学 **57**, 105-109
- 11) 大西良子(1960. 12) 三叉神経性瞳孔縮小神経に関する研究 (I) 関西医大誌 **12**, 743-751
- 12) 大西良子(1960. 12) 三叉神経性瞳孔縮小神経に関する研究 (II) 関西医大誌 **12**, 908-914
- 13) 大西良子(1960. 12) 三叉神経性瞳孔縮小神経に関する研究 (III) 関西医大誌 **12**, 915-927
- 14) 幸塚嘉一・堀川惺子(1960. 1) "脊髄後根交感神経" の舌血管拡張作用について ——"舌血管の交感神経性二重支配" 日本生理誌 **22**, 59
- 15) 幸塚嘉一・三戸 裕(1960. 3) "脊髄後根交感神経" (eff.) の瞬膜血管拡張作用について ——"瞬膜血管の交感神経性二重支配" 日本生理誌 **22**, 153
- 16) 幸塚嘉一・内藤博江(1960. 4) 三叉神経性瞳孔運動神経について (I) 日本生理誌 **22**, 262
- 17) 幸塚嘉一・内藤博江・堀 泰雄(1960. 4) "脊髄後根交感神経" (eff. 1955) の血管拡張作用について (映画) 日本生理誌 **22**, 263
- 18) 幸塚嘉一・内藤博江(1960. 4) 動眼神経の瞳孔散大作用について ——瞳孔括約筋の副交感神経性二重支配 —— 日本生理誌 **22**, 272
- 19) 幸塚嘉一・内藤博江(1960. 4) Langley's antidromic action 批判 (その 2) 日本生理誌 **22**, 279
- 20) 幸塚嘉一・内藤博江(1960. 5) 三叉神経性瞳孔運動神経について (II) 日本生理誌 **22**, 378
- 21) 幸塚嘉一・内藤博江・堀川惺子・三戸 裕(1960. 5) "脊髄後根交感神経" (遠心性) の瞳孔縮小作用について (V) ——"瞳孔散大筋の交感神経性二重支配" —— 日本生理誌 **22**, 379
- 22) 幸塚嘉一・内藤博江(1960. 5) Langley's antidromic action 批判 (その 3) 日本生理誌 **22**, 392
- 23) 幸塚嘉一・内藤博江・堀 泰雄・堀川惺子・三戸 裕(1960. 6) 三叉神経性瞳孔運動神経支配 III —— 脊髄における Origin について —— 日本生理誌 **22**, 514
- 24) 幸塚嘉一・内藤博江・堀 泰雄・堀川惺子・三戸 裕(1960. 8) "脊髄後根交感神経" の延髓における Origin について 日本生理誌 **22**, 741
- 25) 幸塚嘉一・内藤博江(1960. 8) Langley's antidromic action 批判 (その 4) 日本生理誌 **22**, 760
- 26) 幸塚嘉一・内藤博江(1960. 8) "脊髄後根交感神経" の瞳孔縮小作用について (VI) ——Chemical transmission 日本生理誌 **22**, 771
- 27) 幸塚嘉一・内藤博江・大西良子(1960. 10) "脊髄後根交感神経" (eff.) の血管拡張作用について —— Neurochemical transmission (その 2) —— 日本生理誌 **22**, 1034
- 28) 幸塚嘉一・内藤博江・堀 泰雄・大西良子(1960. 12) "脊髄後根交感神経性血管拡張" の作用機序 (a) 日本生理誌 **22**, 1208
- 29) 幸塚嘉一・内藤博江・大西良子(1960. 12) 三叉神経性瞳孔運動神経支配 VI ——Neurochemical transmission —— 日本生理誌 **22**, 1209

大阪歯科大学生理学教室

- 1) 土居嘉憲(1960. 6) Tetracycline 類の唾液中への排泄について 歯科医学 **22**, 488
- 2) 古田 洋(1960. 8) Homosulfanilamide の唾液中への排泄について 歯科医学 **23**, 795
- 3) 上羽隆夫(1960. 8) 有機色素の唾液中への排泄について (その 1) Evans' blue, indigocarmine および azorubin S について 歯科医学 **23**, 802
- 4) 土居嘉憲(1960. 8) Erythromycin の唾液中への排泄について 歯科医学 **23**, 814
- 5) 坂口可子(1960. 8) Thioacetazone の唾液中への排泄について 歯科医学 **23**, 821

- 6) 坂口可子 (1960. 8) Isonicotinic acid hydrazide の唾液中への排泄について 歯科医学 **23**, 830
- 7) 土居嘉憲・坂口可子・藤田実雄 (1960. 8) 銅および金コロイドの組織呼吸におよぼす影響について 歯科医学 **23**, 1034
- 8) 坂口可子・土居嘉憲・藤田実雄 (1960. 8) 銅および亜鉛コロイドの組織呼吸におよぼす影響について 歯科医学 **23**, 1038
- 9) 藤田実雄・土居嘉憲・坂口可子 (1960. 8) 錫およびカドミウムの組織呼吸におよぼす影響について 歯科医学 **23**, 1041
- 10) 土居嘉憲 (1960. 10) Viomycin の唾液中への排泄について 歯科医学 **23**, 1383
- 11) 土居嘉憲 (1960. 10) 抗生物質の唾液中への排泄について (総括) 歯科医学 **23**, 1389
- 12) 坂口可子 (1960. 10) Sodium isonicotinic hydrazide methanesulfonate の唾液中への排泄について 歯科医学 **23**, 1395
- 13) 藤田実雄 (1960. 10) 耳下腺の組織呼吸に対する糖 pH および無機イオンの影響ならびに呼吸商について 歯科医学 **23**, 1403
- 14) 土居嘉憲・坂口可子・藤田実雄 (1960. 10) ニッケル、クロームおよびコバルトコロイドの組織呼吸におよぼす影響について 歙科医学 **23**, 1710
- 15) 藤田実雄・坂口可子・土居嘉憲 (1960. 10) 齒肉毛細管壁の抵抗性におよぼす Presteron の影響について 歙科医学 **23**, 1713
- 16) 藤田実雄 (1960. 12) 耳下腺の組織呼吸に対する 2, 3 薬物の影響について (付: 組織呼吸の阻害効果と唾液中への排泄の難易との関係) 歙科医学 **23**, 1847
- 17) 藤田実雄 (1960. 12) 錫および銀コロイドの組織呼吸におよぼす影響について 歙科医学 **23**, 1976
- 18) 坂口可子 (1960. 12) 金およびペラジウムコロイドの組織呼吸におよぼす影響について 歙科医学 **23**, 1979
- 19) 坂口可子・藤田実雄 (1960. 12) 銅および銀コロイドの組織呼吸におよぼす影響について 歙科医学 **23**, 1982
- 20) 藤田実雄・坂口可子 (1960. 12) 金および亜鉛コロイドの組織呼吸におよぼす影響について 歙科医学 **23**, 1985
- 21) 坂口可子 (1960. 12) Pyrazinamide 及び Pyrazinoic acid の唾液中への排泄について 歙科医学 **23**, 2319
- 22) 坂口可子 (1960. 12) 結核化学療法剤の唾液中への排泄について 歙科医学 **23**, 2327
- 神戸医科大学生理工学第1講座
- 1) 岡本彰祐 (1960. 1) イプシロン・アミノ・カプロン酸——プラスミン研究の最近の進歩—— メディカルカルチュア **1**, 143-144
- 2) 渡部英史・他 (1960. 2) 正常および病的状態における尿中線維素融解現象の研究 総合医学 **17**, 161-165
- 3) 土屋和道・他 (1960. 2) ω アミノ酸の血圧に対する影響について 日本生理誌 **22**, 63-69
- 4) 土屋和道・他 (1960. 2) ω アミノ酸の抗痙攣作用について 日本生理誌 **22**, 70-74
- 5) Kawakami, M., et al. (1960. 4) Variation in tonus of skeletal muscle accompanying menstrual cycle with special reference to perineum muscles. Jap. J. Physiol. **10**, 156-166
- 6) Tsuchiya, K., et al. (1960. 4) Studies on the effects of γ -aminobutyric acid on the isolated guinea pig ileum. Jap. J. Physiol. **10**, 167-182
- 7) Tsuchiya, K. (1960. 4) Studies on some inhibitory agents to the contraction of the isolated intestine. 1) On the effects of some ω -amino acids on the isolated intestine of crayfish, rabbit and guinea-pig. Kobe J. Med. Sci. **6**, 35-51
- 8) Tsuchiya, K. (1960. 4) Studies on some inhibitory agents to the contraction of isolated intestine. 2) On the contraction of guinea-pig ileum produced with plasmin. Kobe J. Med. Sci. **6**, 53-59
- 9) Okamoto, S. (1960. 9) Experimental studies on the clinical application of a synthetic antiplasminic substance. Research Papers on Blood Coagulation. 227-250
- 10) 渡部英史 (1960. 10) 血液 Plasmin 系の実験的活性化に伴う出血及び滲出に関する研究 日本生理誌 **22**, 983-996

神戸医科大学第2生理学教室

- 1) Kasagi, M. (1960) Effects of chemical stimulation of the cerebellum on the blood flow in a precollicular cat. Kobe J. Med. Sci. **6**, 141
- 2) Suda, I., Kasagi, M., Gomiyo, S., Ishii, H., Akita, R., Watanabe, F. (1960) Electroencephalographic changes after local acute cerebral compression in a cat. Kobe J. Med. Sci. **6**
- 3) Tokieda, J. (1960) Observation on the INAH seizures and their spread. Kobe J. Med. Sci. **6**
- 4) Kito, K., Tokieda, J., Okamura, M., Gomiyo, S. (1960) Observation on the non-neuronal spread of the electrical seizures in the cerebral cortex of a cat. Kobe J. Med. Sci. **6**
- 5) Okamura, M. (1960) Observation on the experimental autonomic seizures. Kobe J. Med. Sci. **6**

岡山大学医学部第1生理学教室

- 1) 村上哲英 (1960) 細胞分裂に及ぼす高水圧の影響 細胞化学シンポジウム **10**, 233-234
- 2) 三木福治郎 (1960. 8) 平滑筋に及ぼす高水圧の影響 (その1) 蛙腸管縦走筋について 岡山医学誌 **72**, 1609-1614
- 3) 三木福治郎 (1960. 8) 平滑筋に及ぼす高水圧の影響 (その2) 蛙腸管縦走筋に及ぼす諸種薬品作用について 岡山医学誌 **72**, 1615-1622
- 4) 三木福治郎 (1960. 8) 平滑筋に及ぼす高水圧の影響 (その3) 蛙の瞳孔筋について 岡山医学誌 **72**,

1623-1630

- 5) 安田浩士・村上哲英・三木福治郎(1960.8)細胞分裂に及ぼす高水圧の影響 岡山医学誌 **72**, 1635
 6) 三木福治郎(1960.8)植物種子の発芽に及ぼす高水圧の影響 岡山医学誌 **72**, 1643-1650

岡山大学医学部第2生理学教室

- 1) 福原 武(1960.1)呼吸運動の調節 医学のあゆみ **32**, 212-218
 2) 難波良司(1960.7)大腸内容輸送に対する腸内粘膜反射の役割について 日本生理誌 **22**, 615-624
 3) Hukuhara, T., Nakayama, S., Nanba, R.(1960.8) Locality of receptors concerned with the intestino-intestinal extrinsic and intestinal muscular intrinsic reflexes. Jap. J. Physiol. **10**, 414-419
 4) Hukuhara, T., Nakayama, S., Nanba, R. (1960.8) The effects of 5-hydroxytryptamine upon the intestinal motility, especially with respect to the intestinal mucosal intrinsic reflex. Jap. J. Physiol. **10**, 420-426
 5) Hukuhara, T., Okada, H., Yamagami, M. (1960.12) The action of atropine and acetylcholine on the pace maker ganglion cells of limulus heart. Acta Med. Okayama **14**, 265-270
 6) Hukuhara, T., Sumi, T., Kotani, S. (1960.12) Automatic activities of the spinal cord concerned with the respiratory movements. Acta Med. Okayama **14**, 271-277

広島大学医学部第1生理学教室

- 1)* J. W. Woodbury, Aya Irisawa (1959.8) Effects of diphenylhydantoin on frog ventricular action potential. The Physiologist **2**, 124-125
 2)* 入沢 宏(1959.10)心臓生理学の一動向一生体内にあるがままの心臓のはたらきを研究する 医学のあゆみ **31**, 383-388
 3) 入沢 宏(1960.1)心送血量の調節 広島医学 **13**, 3-8
 * 印は前年度脱落分

広島大学医学部第2生理学教室

- 1)* Fiorica, V., Semba, T. and F. R. Steggerda (1959) Electrical response of the eighth Cranial nerve during free-fall and rotation experiments. The Physiologist **2**, No. 3 38
 2)* Semba, T. and H. Noda (1959) Localisation of the motor response center of the stomach in the medulla oblongata. The Physiologist **2**, No. 3 104
 3) 銭湯武彦(1960)胃小腸の神経支配 医学のあゆみ **32**, 568
 4) 西田芳郎・木村進匡・角谷公司・西田琢郎(1960)鶏の発生初期に於ける卵黄血管系分枝の長さについて 広島医学 **13**, (別刊号) 821
 5) 西田芳郎・角谷公司・木村進匡・西田琢郎(1960)鶏の卵黄血管系の口径について 広島医学 **13**, (別

刊号) 831

- 6) 西田芳郎・西田琢郎・島山 洋・木村進匡・角谷公司(1960)鶏の卵黄血管分布構造について 広島医学 **13**, (別刊号) 843
 7) 西田芳郎・角谷公司・西田琢郎・木村進匡(1960)鶏の卵黄血管系の微小血管密度について 広島医学 **13**, (別刊号) 853
 8) 西田芳郎・木村進匡・西田琢郎・角谷公司(1960)鶏の卵黄血管系内の血液循環回路の長さについて 広島医学 **13**, (別刊号) 863
 9) 伊達辰之進(1960)延髄の孤束及びその周辺の電気的刺激によって得られる胃運動の抑制に就いて 広島医学 **13**, (別刊号) 867
 10) 伊達辰之進(1960)脊髄の電気的刺激による胃運動の抑制に就いて 広島医学 **13**, (別刊号) 877

* 印は前年度脱落分

鳥取大学医学部第1生理学教室

- 1)* 西尾康四郎(1959.11)房室間伝導に対する一考察 米子医学誌 **10**, 1903-1912
 2) 坂田三弥・村田美雄・木下壮六・山田 守(1960.2)歯牙およびその周囲組織よりの求心性衝撃について(その6) 医学と生物学 **54**, 167-172
 3) 上山松吉(1960.2)歯齦における圧受容器について 米子医学誌 **11**, 187-199
 4) 村田美雄(1960.2)歯根膜における圧受容器の求心性衝撃について 米子医学誌 **11**, 200-210
 5) Yamada, M., Maruhashi, J., Masuda, M. (1960.9) The Effects of Temperature on the Amplitude of Action Currents of a Node of Ranvier Yonago Acta Medica **4**, 161-168
 6) 足立 玄(1960.9)歯髄内神経にたいする化学物質(とくに覆罩剤)の作用効果について 米子医学誌 **11**, 568-578
 7) 坂田三弥・足立 玄・山田 守(1960.10)間接および直接覆罩剤の歯髄におよぼす影響 医学と生物学 **57**, 11-16
 * 印は前年度脱落分

鳥取大学医学部第2生理学教室

- 1) 西田 勇・岡田博匡(1960.2)The activity of the pupilloconstrictory centers. Jap. J. Physiol. **10**, 64-72
 2) 西田 勇・岡田博匡・中野 治(1960.2)The activity of the cilioispinal centers and their inhibition in pupillary light reflex. Jap. J. Physiol. **10**, 73-84
 3) 岡田博匡・中野 治・西田 勇(1960.6)Effects of sciatic stimulation upon the efferent impulses in the long ciliary nerve of the cat. Jap. J. Physiol. **10**, 327-339
 4) 岡田博匡・中野 治・岡本恭子・中山公弘・西田 勇(1960.12)The central path of the light reflex via the sympathetic nerve in the cat. Jap. J. Physiol. **10**, 646-658

山口県立医科大学生理解剖教室第1講座

- 1) Niu, H. & Nakashima, A. (1960) Electrophysiological studies of the human uterus. *J. Jap. Obst. & Gynec. Soc.* **6**, 2
- 2) Kuno, M. & Perl, E. R. (1960) Alteration of spinal reflexes by interaction with suprasegmental and dorsal root activity. *J. Physiol.* **151**, 103
- 3) Kuno, M. (1960) Action and inactivation of systemic GABA on spinal reflexes. *Proc. Jap. Acad.* **8**, 513
- 4) 丹生治夫・中島 晃(1960)人子宮の筋電図学的研究 産婦人科の世界 **12**, (3号)
- 5) 丹生治夫・中島 晃(1960)活動電流による人子宮下部の収縮性について 産婦人科の世界 **12**, (4号)
- 6) 丹生治夫・中島 晃(1960)人子宮に於ける興奮伝播機構について(特に pace maker の位置について) 日本産婦人科学誌 **12**, (7号)

山口県立医科大学生理解剖教室第2講座

- 1) 沖 充(1960.3)ふらすこ藻 (*Nitella flexilis*) の細胞内電位について 山口医学 **9**, 760-764
- 2) 沖 充(1960.5)微小電極の尖端電位について (*Nitella* の細胞内電位・続報) 山口医学 **9**, 1341-1344
- 3) Kawabata, G., et al. (1960.4) Some considerations on the repolarisation process of ventricular muscle, represented by the T-wave in ECG (in press). *Bull. Yamaguchi Med. School.* **7**, (3)
- 4) 曽我美 勝・他3名(1960.9)電流滴定装置の試作 山口医学 **9**, 1337-1340
- 5) Sogami, M., et al. (1960.9) Chromatographic studies on iodinated bovine plasma albumine. *J. Biochem.* **48**, 464-467

徳島大学医学部第2生理学教室

- 1) 山野俊雄・望月澄三・三宅可浩・安芸謙嗣(1960) D-アミノ酸酸化酵素の基質、受容体および配合群の酵素たんぱくとの相互作用について 酵素化学シンポジウム 第14集 73-80
- 2) Yamano, T., Miyake, Y., Aki, K., Kusai, K., Sekuzu, I. (1960.11) Oxidation-reduction potential of glucose oxidase. *Tokushima J. Exp. Medicine* **7**, 169-174

徳島大学医学部第1外科学教室

- 1) 亀井英文(1960.1)腸管の電気生理学的研究(特にイレウスおよび腹膜炎時の電気刺激に対する反応) 四国医学誌 **16**, (補冊) 39-56
- 2) 田北周平(1960.2)平滑筋臓器の運動異常と活動電流 総合医学 **17**, (2号) 141-146
- 3) 田北周平・藤岡興人・穴吹 浩(1960.2)肥大腸壁神経組織の臨床的観察ならびに実験的観察 外科 **22**, (2号) 120-127
- 4) 浜 昭典(1960.2)消化管自動能の起源に関する研究 四国医学誌 **16**, (1号) 620-641

- 5) 田北周平(1960.2)消化管運動概論 福岡医学誌 **52**, (2号) 124-129
- 6) 林 敏也(1960.6)低体温における腸間膜血流に関する研究 四国医学誌 **16**, (3号) 1045-1064
- 7) 大久保定雄(1960.8)慢性肥大腸管機能に関する実験的研究 特に腸脇抑制反射について 四国医学誌 **16**, (4号) 1082-1109
- 8) Toshiya, Hayashi (1960.8) Über die Veränderung der Mesenterialkapillaren unter der Hypothermie. *Tokushima J. Exp. Med.*, **7**, (No. 2) 120-123
- 9) 西島早見(1960.12)胆囊機能に関する研究 臨床消化機病学誌 **9**, 29-35
- 10) Takayo, Matsuzaki (1960.4) A pharmacological study of experimental hypertrophied intestine. *Tokushima J. Exp. Med.*, **7**, 49-67

徳島大学医学部精神医学教室

- 1) Nakao, H. (1960) Hypothalamic emotional reactivity after amygdaloid lesions in cats. *Fol. Psychiat. Neurol. Jap.* **14**, 357-366

九州大学医学部第1生理学教室

- 1) Oomura, Y. & Tomita, T. (1960.10) Study on properties of neuromuscular junction. Electrical activity of single cells. Ed. by Y. Katsuki 181-205
- 2) Oomura, Y. & Tomita, T. (1960.10) Analysis of the junction potential of small nerve. *Nature*, **188**, 416-417
- 3) Ooyama, H. & Wright, E. B. (1960.6) Electrical activities of single Ranvier node of frog nerve. *Fed. Proc.*, **19**, A 297
- 4) Toida, N., Higuti, K. & Tomita, T. (1960.6) The electrical resistance of the crayfish retina during activity. *Kyushu J. Med. Sci.*, **11**, 125-132
- 5) Toida, N., Tamai, T. & Takeda, H. (1960.10) Intracellular recording of electrical potential from rat liver in situ. Electrical activity of single cells. Ed. by Y. Katsuki 217-232
- 6) 橋村三郎(1960.5)γ-系について 福岡医学誌 **51**, 447-451
- 7) 富田忠雄(1960.3)膜電位固定による終板電位の研究 福岡医学誌 **51**, 286-296
- 8) 大村 裕・富田忠雄・丸橋寿郎(1960.4)膜電位固定法の細胞膜への応用 生体の科学 **11**, 89-96
- 9) 大村 裕・富田忠雄(1960.10)神経と筋肉の接合部(筋終板)の電気的性質 生体の科学 **11**, 247-255

九州大学医学部第2生理学教室

- 1) M. Goto (1960.8) The Effects of Oxytocin on the Transmembrane Potentials of the Rat Myometrium. *Jap. J. Physiol.* **10**, 427-435
- 2) M. Goto & J. Shiwachi (1960.10) Mode of Electrical Activity of Cardiac Muscle Fibers Under Hypo-

- thermia. Jap. J. Physiol. **10**, 547-554
- 3) M. Goto, H. Kuriyama, & Y. Abe (1960. 10) Myo-Myo-Junction Potential and Transmission of Excitation in the Uterine Smooth Muscle. Proc. Japan Academy **36**, 509-512
- 4) 後藤昌義・安部良治・落合正直 (1960. 2) 心筋ならびに平滑筋における興奮の筋・筋伝播と Myo-Myo-Junction Potential 福岡医学誌 **51**, 115-124
- 5) 後藤昌義・落合正直・東郷実幸 (1960. 2) 平滑筋の電気生理学的研究 生体の科学 **11**, 13-22
- 6) 後藤昌義・落合正直・東郷実幸 (1960. 2) 子宮平滑筋細胞内電位におよぼす温度の影響 総合医学 **17**, 127-130
- 7) 志和池二郎 (1960. 6) マウス心筋細胞内電位に及ぼす低温の影響 鹿児島医学誌 **12**, 266-280
- 8) 高田守男 (1960. 12) 子宮平滑筋の電気現象よりみた estrogen, progesterone および oxytocin の作用機転 医学研究 **30**, 113-115
- 9) 安部良治 (1960. 11) 子宮平滑筋の細胞内活動電位とその潜伏期不応期ならびに筋細胞間の機能的結合 福岡医学誌 **51**, 1159-1173
- 10) 後藤昌義・安部良治・栗山 澄 (1960. 8) 下等動物心筋細胞内電位の比較生理学的研究 日本生理誌 **22**, 706
- 11) 後藤昌義・安部良治 (1960. 8) 子宮平滑筋線維間ににおける機能的干渉 日本生理誌 **22**, 728
- 12) 後藤昌義・玉井 忠 (1960. 11) 平滑筋・心筋の諸問題 金芳堂 (東京, 京都) 1-201
- 13) H. Kuriyama, M. Goto, et al. (1960. 12) Comparative studies on transmembrane potentials and electrical characteristics of cardiac muscles. Electrical activity of single cells

長崎大学医学部第1生理学教室

- 1) Ide, M. (1960) The effect of hemorrhage on the noradrenaline and adrenaline contents of the adrenal gland in the cat. Tohoku J. Exper. Med. **71**, 305
- 2) Suzuki, T., Romanoff, E. B., Koella, W. P. and Levy, C. K. (1960) Effect of diencephalic stimuli on 17-hydroxycorticosteroid secretion in unanesthetized dogs. Am. J. Physiol. **198**, 1312
- 3) Mitamura, T. (1960) Effect of anesthesia on the pituitary-adrenocortical system of the rat. Acta Med. Nagasaki. **5**, 58
- 4) Mitamura, T. (1960) Effect of sodium pentobarbital anesthesia upon adrenal ascorbic acid depletion induced by morphine, histamine, adrenaline and insulin. Acta Med. Nagasaki. **5**, 63
- 5) Goto, S. (1960) Effect of tetramethylammonium on the adrenal medullary secretion in the dog. Acta Med. Nagasaki. **5**, 108
- 6) Yamashita, K., Araki, M. and Mitamura, T. (1960) Effect of tubocurarine on the adrenal medulla. Acta Med. Nagasaki. **5**, 126

- 7) Yamashita, K. and Zinnouchi, S. (1960) Effect of splanchnicotomy on the adrenaline-secretory action of carbaminoylcholine. Acta Med. Nagasaki. **5**, 127

長崎大学医学部第2生理学教室

- 1) 川村輝男 (1960. 2) 家兔における皮膚呼吸反射に関する研究 (第3報) 迷走神経肺枝の役割について 医療 **14**, 13
- 2)* Sato, K., T. Ozaki, K. Mimura, S. Masuya and N. Honda (1959) On the frequency response of EEG activity obtained by the intermittent click stimulation. Proc. VIII th Ann. Meet. of Jap. EEG Soc., 5
- 3) 築城士郎 (1960. 5) 脳波による精神分裂病の遺伝的研究 精神神経学誌 **62**, 876
- 4) 杠葉竹二 (1960. 5) 正常脳波の自己相関曲線とそのスペクトル密度について 精神神経学誌 **62**, 902
- 5) 杠葉竹二 (1960. 5) 分裂病脳波の自己相関曲線とそのスペクトル密度について 精神神経学誌 **62**, 910
- 6) 辛島尚士 (1960. 6) 精神薄弱児脳波の自己相関曲線及びスペクトル密度について 長崎医会誌 **35**, 1089

* 前年度脱落分

熊本大学医学部生理学第2講座

- 1) M. Sato, M. Tamasige and M. Ozeki (1960) Electrical activity of the retractor pharynx muscle of the snail. Jap. J. Physiol. **10**, 85-98
- 2) N. Ishiko and M. Sato (1960) The effect of stretch on the electrical constants of muscle fibre membrane. Jap. J. Physiol. **10**, 194-203
- 3) K. Kusano (1960) Analysis of the single unit activity of gustatory receptors in the frog tongue. Jap. J. Physiol. **10**, 620-633
- 4) M. Sato and K. Kusano (1960) Electrophysiology of gustatory receptors. Electrical activity of single cells. 77-95, Tokyo : Igakushoin.
- 5) M. Sato and S. Kiyosuke (1960) Further investigation of Na and K content of sartorius muscle. Kumamoto Med. J. **13**, 272

熊本大学体質医学研究所生理学衛生学研究部

- 1) 緒方維弘 (1960. 2) 寒冷に対する生体感受性と体温調節 最新医学 **15**, 484
- 2) 照屋常吉・佐々木 隆 (1960. 2) 長距離走前訓練が児童に及ぼす影響、特にエネルギー代謝について 熊本大学教育部紀要 **8**, 209
- 3) Ogata, K. (1960. 3) Physiological responses to cold Essential Problems in Climatic Physiology (南江堂) 26-60
- 4) Ogata, K. (1960. 3) Heat stroke. Essential Problems in Climatic Physiology (南江堂) 266-284
- 5) 津崎邦英 (1960. 3) 水俣病の病因物質の中枢神経系に及ぼす影響についての脳電図的検索 熊本医会

誌 34. (補 3) 566

- 6) 緒方維弘 (1960. 4) 体温調節機転から眺めた体内温度分布の意義 医学のあゆみ **33**, 28
- 7) 前田淳一 (1960. 6) 頭患者の盛夏時鬱熱状況の観察 体質医研報 **11**, 70
- 8) 塚本千之助 (1960. 6) 美爪法としての爪甲に対する反復機械的刺激が爪茶部毛細管血行に及ぼす影響 体質医研報 **11**, 74
- 9) 緒方維弘 (1960. 8) 子どもの体温調節 学校保健研究 **7**, 10
- 10) 緒方維弘 (1960. 10) 暑熱環境下の体温調節の障害 日新医学 **47**, 661
- 11) 織田篤芳 (1960. 10) 向暑季における学童の課業中のフリッカ値について 体質医研報 **11**, 214
- 12) 村上 恵・織田篤芳 (1960. 10) 大脳辺縁系活動に及ぼす Neo P. P. の影響 体質医研報 **11**, 219
- 13) 吉村寿人・緒方維弘・伊藤真次 編集 (1960. 3) Essential Problems in Climatic Physiology, A Tribute to Professor YAS KUNO in Cobebration of his Seventy-Seventh Birthday (南江堂) 306

鹿児島大学医学部第1生理学教室

- 1) 西牟田 融 (1960. 2) 二塩基性カルボン酸の肺組織呼吸に及ぼす影響に関する研究 鹿児島医学誌 **33**, 1-67
- 2) 谷山哲彦 (1960. 2) 種々の脂肪族ジカルボン酸及びその誘導体の肝臓組織呼吸に及ぼす影響 鹿児島医学誌 **33**, 68-137
- 3) 岡本千恵喜・竹田正道・竹田隆治 (1960. 2) ルテウムを注射した家兎の諸臓器の組織呼吸に及ぼす性ホルモンの影響 鹿児島医学誌 **33**, 138-150
- 4) 徳田博重 (1960. 2) 頭患者血清の動物組織呼吸に及ぼす影響について (第1報) 頭の病型別血清と組織呼吸 鹿児島大医誌 **11**, 2472-2483
(第2報) 頭腫瘍の病勢変化と組織呼吸 鹿児島大医誌 **11**, 2484-2495
(第3報) 動物組織呼吸と浮遊液の乳酸値との関係 鹿児島大医誌 **11**, 2496-2500
- 5) T. Mizokuti, K. Aoyama, T. Okamoto, T. Turuta (1960. 3) Mg-ion and Tissue Respiration. Acta Med. Univ. Kagoshima **2**, 112-116
- 6) 上野百喜 (1960. 4) Xanthine 剤の組織呼吸に及ぼす影響 (第1報) 心室筋酸素消費に及ぼす影響 鹿児島医学誌 **33**, 417-438
(第2報) 腎皮質酸素消費に及ぼす影響 鹿児島医学誌 **33**, 439-458
- 7) 木重尚雄 (1960. 6) 静止筋の酸素消費に関する研究 鹿児島医学誌 **33**, 842-881
- 8) 松本保久 (1960. 6) 生体の機能と作用、反作用の法則 西海医報 144号 1-2
- 9) 竹田正道 (1960. 7) 去勢の組織酸素消費に及ぼす影

響について 医学研究 **30**, 1820-1859

- 10) 青山恵真・鶴田隆徳・朝隈貞光 (1960. 7) 組織呼吸とストレス作用因子 (健常家兎の心筋の組織呼吸に及ぼすコハク酸ソーダの影響) 鹿児島医学誌 **33**, 1017-1029
- 11) 高岡 寛 (1960. 7) 肝臓並びに腎皮質の組織呼吸に及ぼす“鉄”的影響に関する研究 鹿児島医学誌 **33**, 1052-1077
- 12) 溝口 統・高岡 寛・伊地知藤雄 (1960. 7) 腎皮質酸素消費に及ぼす不飽和二塩基性カルボン酸の影響 (その1) フマール酸の影響 鹿児島医学誌 **33**, 1078-1081
- 13) 溝口 統・高岡 寛・鶴田隆徳 (1960. 7) 腎皮質酸素消費に及ぼす不飽和二塩基性カルボン酸の影響 (その2) マレイン酸の影響 鹿児島医学誌 **33**, 1082-1085
- 14) 佐藤重国 (1960. 8) グリコーゲンと各種臓器の組織呼吸との関係 鹿児島大医学誌 **12**, 830-854
- 15) 河田真雄・朝隈貞光・鶴田隆徳・青山恵真・高岡 寛 (1960. 8) 赤血球の溶血と酸素消費の関係について 鹿児島大医誌 **12**, 855-862
- 16) 伊地知藤雄 (1960. 9) 複数種血压降下剤の大脳皮質並びに腎皮質の組織呼吸に及ぼす影響に関する研究 鹿児島医学誌 **33**, 1438-1484
- 17) 溝口 統・小野主生・岡本千恵喜 (1960. 9) 腎皮質酸素消費に及ぼす飽和二塩基性オキジ・カルボン酸の影響 (その1) 酒石酸の影響 鹿児島大医誌 **12**, (3号補) 1413-1416
- 18) 鶴狩淳一 (1960. 10) 眼組織の代謝に関する研究 (角膜並びに網膜の組織呼吸に及ぼすアミノ・ジカルボン酸並びにその誘導体の影響) 鹿児島医誌 **33**, 1654-1691
- 19) 河田真雄・小野主生・青山恵真 (1960. 12) 酸化還元系色素の組織並びに H₂S による褪色、復色時間について 鹿児島医誌 **33**, 1763-1769
- 20) 河田真雄・緒方 惟・朝隈貞光 (1960. 12) 組織の酸素吸収に関する研究 Catalase 及び過酸化水素の正常時及び青酸障害時家兎腎皮質の組織呼吸に及ぼす影響 鹿児島医誌 **33**, 1770-1774
- 21) 竹田隆治 (1960. 12) 胸腺と関連臓器の組織呼吸に関する研究 (第1報) 胸腺並びに関連臓器の組織呼吸に及ぼすブドウ糖の有無並びに組織共存の影響 鹿児島大医誌 **12**, 2202-2215
(第2報) 胸腺並びに関連臓器の組織呼吸に及ぼす内分泌物質の影響 鹿児島大医誌 **12**, 2216-2231
- 22) 徳満 豊・小野主生・緒方惟治 (1960. 12) ワルブルグ検定法における呼吸槽について 鹿児島大医誌 **12**, 2232-2239
- 23) 徳満 豊・小野主生・緒方惟治 (1960. 12) Alloxan の 2, 3 臓器組織呼吸に及ぼす影響 鹿児島大医誌 **12**, (5号補) 2426-2434

第39回 日本生理学会総会案内（第1報）

第39回日本生理学会総会は昭和37年7月21日より3日間、弘前大学文理学部講堂で開催する予定でございます。

開催要領：発表は一般口演、シンポジウム、誌上の三本立て行います。

何れも一講座あたり一題以内、口演時間は15分（口演10分、討論5分）の予定です。口演及びシンポジウムは次の項目について行う予定です。

1) 口 演

- A) 一般生理, B) 体液, C) 循環, D) 呼吸, E) 消化及び吸収, F) 体温とその調節, G) 尿の生成と排泄, H) 内分泌, I) 中枢神経, J) 末梢神経（含自律神経）, K) 感覚, L) 筋, M) その他

2) シンポジウム

- イ) 一般生理, ロ) 呼吸及び循環の生理, ハ) 内分泌, ニ) 神経生理, ホ) 感覚生理, 等。

演題申込：口演、シンポジウムについては800字以内、誌上発表は1,200字以内の抄録をつけて昭和37年2月20日迄に、青森県弘前市在府町、弘前大学医学部生理学教室学会係あて御送附下さい。

なお、シンポジウムの項目、その他について御希望や御意見がありましたら昭和36年12月末日迄に、当係へお知らせ下さい。宿舎に関しては別に連絡申し上げます。

当番幹事 佐藤 澪
中村 勉

演題申込みについてのお願い

演題申込みは日本生理学会員に限ります。本会の規定により会員外の演題（共同発表者も会員でなければなりません）申込みは受理致しませんから、未入会の方は演題申込み前に入会申込書（入会は本会評議員1名の紹介がいります）に昭和37年度の会費1,000円を添えて下記に申込み下さい。

東京都文京区本郷局区内
東京大学医学部生理学教室
日本生理学会
振替口座 東京86430番
電話 921局^{3151}_{2121} 構内 6325

日本生理学雑誌

JOURNAL OF THE PHYSIOLOGICAL SOCIETY OF JAPAN

第23卷

Vol. 23

昭和36年

1961

日本生理学会

Physiological Society of Japan

日本生理学雑誌第23巻総目次

A. 総 説

第9号 昭和36年9月1日発行

- 林 香 苗 高水圧の細胞刺激作用とその特徴 527

第10号 昭和36年10月1日発行

- 大 谷 卓 造 脊椎動物の中権神経系における抑制と促進の機構 587

第11号 昭和36年11月1日発行

- 勝 木 保 次 感覚の受容機構の電気生理学 647

B. 原 著

第1号 昭和36年1月1日発行

- 水 沢 利 雄 レントゲン線照射初期の白血球増加反応に関する研究 1

- 三 浦 き み 筋又は神經の興奮生起に関する化学的理論について 14

- 箭 田 正 輝 体液酸塩基平衡調節作用に関する比較生理学的研究（第1報）酸注入時の蛙の
体液酸塩基平衡調節作用 22

- 箭 田 正 輝 体液酸塩基平衡調節作用に関する比較生理学的研究（第2報）腎臓のGlutaminase
及び Carbonic Anhydrase 含量の比較 39

- 吉村寿人・箭田正輝・湯浅 実・桑田 努 蛙の尿 Pco_2 と血液 Pco_2 の関係に就いて 45

- 関 園 子 カフェインの中枢運動系に対する作用並びに其機制に就いて 53

第2号 昭和36年2月1日発行

- 杉 本 順 一 腎臓のアンモニア分泌に対する副腎皮質の働きについて（腎臓のアンモニア
分泌機転に関する研究 第2報） 61

- 杉 本 順 一 腎臓の Glutaminase 及び Carbonic Anhydrase 活性に対する副腎摘出の影響
(腎臓のアンモニア分泌機転に関する研究 第3報) 71

- 朝比奈一男・松井良友 睡眠に関する研究 I. 自然睡眠の脳波 76

- 渡 辺 京 子 諸種色素の中枢神経運動系に対する痙攣生起作用とその機制について 93

- 武 藤 直哉 心房筋の不応期について 105

第3号 昭和36年3月1日発行

- 竹 内 貞 助 単一有髓神経線維鞘欠損部の衝撃伝導時に於ける電流変化に就いて 123

- 佐 藤 治 郎 動脈脉波の基礎振動に関する研究 133

- 守 屋 美 喜 雄 Trypsin 投与によるウサギ血漿線維素原急増現象の生理的研究. とくに Plasmin
系との関係について 147

- 腰 野 二 千 雄 γ -アミノ酪酸及びその誘導体のモルモット回腸に対する抗-アセチルコリン,
抗-5-Hydroxytryptamine, 抗-ニコチン, 抗-ヒスタミン作用に就いて 161

- 中西政周・西中 弘 脊髄神経節中の神経細胞について 170

- 吉村寿人・塩見昭三・卷幡勝之・平松茂辰 凍死に対する抵抗性について（凍死の本態に関する
研究 第1報) 173

第4号 昭和36年4月1日発行

- 吉村寿人・卷幡勝之・塩見昭三・今井雄介 凍死蘇生に関する研究(凍死の本態に関する研究 第
2報) 185

- 高比良英輔・石川友衛・岡本好司 小脳前葉皮質における誘発電位の分布 194

- 高比良英輔 同側性直接脊髓小脳路ネウロンの終末部位 205

- 池田駿太郎 2, 3の体制一次求心線維の脊髓内上行経過 216
 高比良英輔・石川友衛 同側性直接脊髄小脳路ネウロン反応様式 226
 角雅夫 正常及び実験的腎性高血圧症白鼠に対する γ -Aminobutyric acid の影響 237

第5号 昭和36年5月1日発行

- 早川秀雄 条件反射による脳内アンモニア及びグルタミン代謝の研究 245
 久米井和夫 γ -Amino 酸誘導体の哺乳動物回腸に対する作用 252
 新井文一 グアニジン酸類の回腸、血圧、大脳皮質誘起電位に対する作用に就いて 261
 高橋久仁男 ヒキガエルの肺筋緊張に及ぼす塩類ならびに滲透圧の変化の影響 270
 清水英子 肝細胞リボ核蛋白粒子 (Ribosome) およびそのリボ核酸成分の電子顕微鏡的研究 (第1報) 肝細胞リボ核蛋白粒子の電子顕微鏡的研究 279
 清水英子 肝細胞リボ核蛋白粒子 (Ribosome) およびそのリボ核酸成分の電子顕微鏡的研究 (第2報) リボ核酸成分の電子顕微鏡的研究 285
 藤本守 酸性尿生成機転に関する研究 293

第6号 昭和36年6月1日発行

- 今村昭 蛙皮の Na 輸送に対する副腎皮質ホルモンの影響 307
 腹野千賀雄 大脳皮質に対する α -アミノ酸及びその誘導体の作用 324
 松野豊 正常児と精神薄弱児における運動条件反射の形成 言語強化法および先行指示法による 334

第7号 昭和36年7月1日発行

- 新岡運藏 延滞運動条件反射による精神薄弱者の中枢過程の研究 369
 柳沢一夫・中村俊郎・宮田慶三郎・亀田務・北村重晴・伊藤一夫 DL-Metionin, DL-Sulfoximin の毒性について 383
 中村俊郎・亀田務・伊藤一夫・大橋正敬 正常犬並びに自然テンカン犬に GABOB を髄液注入した際に起る痙攣について 386
 野村千里 同時、延滞、痕跡及び逆行運動条件反射形成過程の多様式記録に現われた特性について 391
 服部俊助 正常成人の覚醒時脳波の α 波の周波数変動について 404
 高橋長 γ -アミノ酸誘導体、グアニジン誘導体等の心臓、血管に対する作用 417

第9号 昭和36年9月1日発行

- 和合卯太郎 人体骨格筋の軽度収縮疲労について (人体の筋・神経の興奮性の研究 第12報) 547
 志賀健 D-アミノ酸化酵素系に於ける電荷移動複合体に就いて 557
 山中勲 単一有髓神経線維に於ける電気緊張時の興奮伝導速度に就いて 571

第10号 昭和36年10月1日発行

- 青井保男 血糖反応と交感神経遮断剤 596
 中村達児 家兔における Pilocarpine 唾液分泌とその唾液 Ca および Mg との関係に関する生理学的研究 608
 児玉正義 多様式記録による同時、延滞、痕跡及び逆行運動条件反射の汎化及び消去過程の比較について 629

第11号 昭和36年11月1日発行

- 岡田勝喜・足立 学 終板電位に及ぼす ethylalcohol の影響 655
 久保川道男 腹腔内血液とその糖及び水分吸収の司配要因に関する生理学的要因 665

第12号 昭和36年12月1日発行

- 陳敏雄 単一有髓線維の電気緊張時に於ける電流滑走について 707

船 越 正 也 唾液分泌機構の神經生理学的研究 III. 大脳皮質唾液分泌領の機能特性 719

C. 抄 錄

(第38回日本生理学会総会目次は第8号掲載の分を利用せられたい)

第2号 昭和36年2月1日発行

第11回西日本生理学会 (昭和35年10月15日)

1. 後藤賢二・河野 格 交通疲労に関する研究 (其の4) 長時間自動車運転による身体的変化について.....	110
2. 後藤賢二・末永静節・河辺栄一 交通疲労に関する研究. 自動車運転時の近点距離の変化について (第1報) 近点距離測定に関する2, 3の条件について.....	110
3. 河田 真雄 胸腺抽出物的作用 (第4報).....	110
4. 松本保久・徳満 豊 家兔の各種臓器組織呼吸に及ぼす灌流の影響.....	110
5. 藤 口 統 リアミノ酪酸の家兔2, 3臓器組織呼吸に及ぼす影響.....	110
6. 古閑 睦好 組織培養地の考案.....	111
7. 古沢末義・田中育郎 アロキサンの血管作用.....	111
8. 村上 恵・片山次郎 家兎体温に及ぼす扁桃核刺激の影響.....	111
9. 佐々木 隆 身体組成と体型 (somatotype) との関係について.....	112
10. 加茂正嘉・平井健治 副腎ノルアドレナリン, アドレナリン分泌に及ぼす各種ヒヨリンエス	
テルの作用.....	112
11. 山下一邦・黒氏謙一 子宮に於ける炭酸脱水酵素と卵胞, 黃体ホルモンの関係.....	112
12. 大村 裕・前野 雄・富田忠雄・丸橋寿郎 Slow muscle fiber に及ぼすCaおよびBaの効果.....	112
13. 細美照明・富田忠雄 骨格筋の静止電位についての観察 (予報).....	113
14. 玉井 忠・安部良治・後藤昌義 Ca欠乏溶液中に於ける骨格筋の線維間相互作用について.....	113
15. 川端五郎・沖 充 心筋の再分極過程とT波.....	114
16. 尾関正寛・佐藤昌康 カタツムリ咽頭索引筋の神経分布とその薬物効果について.....	114
17. 木村 勝美 化学受容器の興奮性に及ぼすOHイオン及び温度の影響.....	114
18. 富田忠雄・細美照明・間田直幹 KCl処理後のザリガニ無髓神経の電気的性質について.....	114
19. 橋村 三郎 内向き通電によるRanvier絞輪にみられる2, 3の現象について.....	115
20. 丸橋寿郎・大村 裕・富田忠雄 Ranvier絞輪に於ける反復興奮について.....	115
21. 西彰五郎 交感神経節細胞の静止時に於ける電気的性質と活動時に於ける電気現象について.....	115
22. 尾崎幸男・大村 裕・前野 雄 イソアワモチ巨大神経細胞の組織学的研究.....	116
23. 前野 雄・大村 裕・尾崎幸男 イソアワモチ巨大神経細胞のvoltage clampについて.....	116
24. 永木讓治・佐藤昌康 ストリキニンのシナップス伝達抑制作用.....	116
25. 久野 宗 除脳猫と脊髄猫の反射効果の差異.....	117
26. 久原 一男 家兎海馬の電気活動とMinor tremor.....	117
27. 向笠 寛・久原一男 生体のアルコールに対する反応, 特にCyanamideの影響について.....	117
28. 尾崎俊行・舛屋 澄・寺本成美 磁気相関計による脳波の分析について.....	118
29. 三村珪一・本多夏生・栗津俊彦・北島和夫 簡易相関法による脳波の分析について.....	118
30. 尾崎俊行・大脳皮質並びに視床発作中のCerebral slow potential shiftに対する小脳刺激の影響について.....	118
31. 武内睦哉・梅田玄勝 白鼠の条件反射に於ける制止過程について.....	118
32. 濱尾 愛三郎 意識時間に於ける未来性因子の作用とE. HusserlのProtention.....	119

第139回生理学東京談話会（昭和35年11月26日）

1. 畠山一平・福田雅夫・添田泰孝・全田慶夫・八賀昭彦・佐藤治郎	間接測定法による四肢の動脈血圧の比較	119
2. 畠山一平・相沢弘子・添田泰孝・梶原雄三	頭部動搖曲線 (Kephalogramm) の一新分析法による基礎直立姿勢の検討	119
3. 高木貞敬・渋谷達明・東野庄司・新井富男	蛙、ガマ喰粘膜に対するエーテルの刺激と麻酔作用	120
4. 小野三嗣	舌下温、皮膚温の特異な動搖について	120
5. 福田篤郎・他	Endotoxin の生体反応について (糖質代謝)	121
6. 幸塙嘉一・内藤博江・大西良子	Langley's antidromic action 批判 (その5) 脊髄後根交感神経学説の立場より	121
7. 吉田真澄・加藤茂・川村浩	低体温時の新、旧、古皮質系の電気的活動	121
8. 細谷雄二	視紅合成と暗順応	122

第3号 昭和36年3月1日発行

第6回日本生理学会中部談話会（昭和35年11月27日）

1. 米村大蔵・青木辰夫・都筑幸哉	人眼網膜電図 (ERG) の律動様小波について	182
2. 米村大蔵・升田義次	家兎眼 ERG における陰性波の微細構造	182
3. 伊藤文雄	臺脊髄内に於ける Slow motor system について	182
4. 渡辺悟	臺の所謂脊髄波の周期性について	183
5. 伊藤文雄	臺の呼吸中枢とその活動様式	183
6. 岩間吉也・山本長三郎	視床体知覚核の衝撃伝導に及ぼす皮質性制御	184
7. 大原孝吉・近藤道子・宮内和博	単一汗腺管口に於ける皮質電位の動搖並びにそのリズムについて	184

第6号 昭和36年6月1日発行

第6回日本生理学会中部談話会 (つづき) (昭和35年11月27日)

8. 高木健太郎・小川徳雄・寺田栄一・小林守	皮膚の直流抵抗と発汗との関係	361
9. 永坂鉄夫・高木健太郎	左右耳朶のプレチスマグラフ	361
10. 永坂鉄夫・高木健太郎	反射光電式プレチスマグラフを用いた血圧の非観血的測定法について	361
11. 勝田穣・平田清孫	打点運動の研究	362
12. 河辺昌子・伊藤重義	Ringer 氏液組成とその電気抵抗値及び比電導度	362
13. 森本孝	阻害剤を用いた呼吸と細胞分裂との関係に対する一解析方法の理論的考察	362
14. 丸野正夫・伊藤秀三郎	稀薄気体内に於ける生体の働きについて	363
15. 本田良行・蓮村成子	犬の低酸素空気吸入に伴う換気量、肺胞空気の組成及び動脈血 pH の変化	363

第12回日本生理学会中国・四国部会（昭和35年10月21日）

I. 一般口演の部

1. 安田浩士・村上哲英・三木福治郎・日野道夫・得本博允・薄井経子	細胞分裂に及ぼす高水圧の影響 (Ⅲ)	364
2. 村上哲英	細胞分裂に及ぼす高水圧の影響 (IV) 核酸の変動について	364
3. 薄井経子	<i>Aspergillus oryzae</i> の芽胞子発芽に及ぼす高水圧の影響	365
4. 真鍋邦男・宮本博司	有糸核分裂の時刻変動について	365
5. 真鍋邦男・宮本博司	有糸核分裂経過に及ぼす SH 基阻害の影響について	365
6. 三宅可浩・大林澄子・安芸謙嗣	フラビン酵素の酵素たんぱくと補酵素との相互作用について	

て.....	365
7. 西田 勇・岡田博匡・中山公弘 血液体心臓-リソバ心臓反射.....	366
8. 川端五郎・沖 充 蛙リンパ心の Electrogram について.....	366
9. 伊藤秀三郎・吳 振穂 子宮運動の神経支配に関する新知見.....	366
10. 萩 原 仁 表面電極誘導による筋電図の分析.....	367

第7号 昭和36年7月1日発行

第12回日本生理学会中国・四国部会 (つづき) (昭和35年10月21日)

11. 福原 武・角 忠明・小谷 覚 脊髄呼吸中枢の存否について.....	426
II. 細胞の興奮と伝導の部	
12. 林 香 苗 高水圧下の組織細胞の興奮性.....	426
13. 山野 俊雄 フラビン酵素の作用機序.....	426
14. 丹 生 治夫 平滑筋筋電図とその応用について.....	427
15. 西丸和義・西丸 貞・谷 義知・西田琢郎 脉管系の周期的収縮性について.....	427
16. 入沢 宏・小林 悅 無脊椎動物心筋の陽極通電による弛緩.....	427
17. 伊藤 竜・伊藤文雄・渡辺 悟 薬第3脊髄前角細胞の反復興奮性について.....	428
18. 山田 守・岡田勝喜・高田 茂・古谷光江 圧刺激に対する神経線維の反応.....	428
III. 自律神経の部	
19. 福原 武・角 忠明・小谷 覚 小腸内反射の比較生理学的研究.....	428
20. 福原 武・角 忠明・小谷 覚 腸内反射における壁内神経細胞の役割について.....	429
21. 中 山 沢 小腸粘膜内反射の平滑筋電図学的研究.....	429
22. 伊達辰之進 脊髄の電気刺激による胃運動の抑制について.....	429
23. 西田 勇・岡田博匡・岡本恭子 嘔下時の心臓調節神経及び腹部交感神経の活動.....	429
D. その他	
第38回日本生理学会評議員会記事	521
日本生理学会昭和35年度決算報告	522
日本生理学会会則	523
日本生理学雑誌投稿規定	524
単位符号の標準	525
昭和35年度生理学論文表題集 (1).....	581
昭和35年度生理学論文表題集 (2).....	641
昭和35年度生理学論文表題集 (3).....	689
昭和35年度生理学論文表題集 (終)	729

著者名索引

ア	浅野 智秋.....	493
相川 貞男.....	浅野 達.....	481
相沢 弘子.....	浅野 牧茂.....	442
青井 保男.....	朝比奈 一男.....	76, 441
青木 辰夫.....	浅見 俊雄.....	457
安芸 謙嗣.....	足立 学.....	655
秋山 明子.....	東 健彦.....	519
阿久沢 節男.....	阿部 裕.....	506
	阿部 正和.....	481
	安部 良治.....	113, 466, 519
	新井 富男.....	120

- 新井文一..... 261
粟津俊彦..... 118, 452, 516

イ

- 飯塚道彦..... 488
猪飼公郎..... 482
猪飼道夫..... 458
井川幸雄..... 481
壱岐又三郎..... 475
池上晴夫..... 488
池田駿太郎..... 216
石井昭郎..... 506
石井和子..... 454
石井公正..... 454
石川一郎..... 480
石川繁子..... 436
石川玄知..... 467
石川友衛..... 194, 226, 445
石河利寛..... 457
石田絢子..... 475, 501
石田桂三郎..... 461
石谷邦介..... 482
石橋貴昭..... 443
石引昭..... 467, 518
磯貝勝..... 506
五十島長太郎..... 461
伊藤一夫..... 383, 386
伊藤重義..... 362
伊藤辰之進..... 446
伊藤東洋司..... 509
伊藤鉄夫..... 461
伊藤秀三郎..... 363, 366, 479
伊藤文雄..... 182, 183, 428
伊藤嘉房..... 436
伊藤幸子..... 457
伊藤竜..... 428, 436
稻垣義明..... 440
犬伝石..... 461
井上章..... 511
井上恭一郎..... 448
井上清恒..... 461, 502
井上五郎..... 456
井上太郎..... 491

- 猪股孝四郎..... 470
雪吹周秀..... 474
今井雄介..... 185, 491
今村昭..... 307, 491
入江正昭..... 491
入沢彩..... 520
入江宏..... 427, 520
岩崎静子..... 463, 475
岩瀬善彦..... 450, 508
岩間吉也..... 184, 488

ウ

- 上原千代子..... 436
上原陽子..... 474
植村慶一..... 453
植村三良..... 451, 452
上村彰一..... 509
宇佐美暢久..... 440
薄井経子..... 364, 365, 435
内田倖喜..... 460
内田孝一..... 450, 508
内山孝一..... 467, 518
梅田玄勝..... 118
浦壁重治..... 506
漆崎倫子..... 478
漆葉昌延..... 508

エ

- 榎泰義..... 434
遠藤英二..... 435

オ

- 大出浩..... 439
大岩寛..... 437
大川隆徳..... 515
大久保サチ子..... 437
大久保信一..... 478
大柴進..... 442
大島研三..... 506
大島知一..... 500
大谷卓造..... 444, 499, 587

大塚俊郎	509
大西良子	121, 478
大庭健吾	483
大橋正敬	386, 508
大畠進	443
大林澄子	365
大原孝吉	184, 487, 489
大村裕	112, 115, 464, 475, 476
大山浩	488, 493
緒方維弘	488
紡方貞夫	463
岡田敬司	467, 518
岡田勝喜	428, 463, 496, 655
岡田博匡	366, 429, 440
岡村桂介	462
岡本歌子	484
岡本恭子	429, 440
岡本好司	194
岡本彰祐	442
岡芳包	433
小川太郎	469
小川徳雄	361
小川義雄	439
沖充	114, 366, 467
奥村修三	450
小倉幸一	489
小倉光夫	511
尾崎俊行	452, 516
尾崎秀雄	447
尾崎幸男	116, 118, 463, 476
尾関正寛	114
小沢逞夫	447
小田立男	506
越智淳三	450, 508
小保内虎夫	454
小野三嗣	120, 461
小野清四郎	440
小野勝	460
大木新平	432
大村澄子	433
大林哲昭	443
小山富康	482, 511
折田義正	506

力

梶原雄三	119
片岡喜由	453
片山次郎	111, 488
勝木保次	489, 494, 497, 647
勝田穰	362, 473
勝呂清	440
加藤元一	479
加藤茂	121, 448
加藤正道	448, 480
鎌倉勝夫	438
龜田務	383, 386, 508
神川喜代男	447
加茂正嘉	112
唐橋善雄	509
川上正澄	514
川口戊	433
川嶋昭司	438
河田真雄	110, 480
河田溥	519
川端五郎	114, 366, 467
河辺栄一	110
河辺昌子	362
川村一男	465
川村浩	121, 449
管野富夫	519
菅乃武男	497
菅野義信	449, 497

ヰ

菊地一郎	437
菊地鑑二	498
北岡利雄	506
北里宏	450, 508
北島和夫	118, 452, 516
北原怜	492
北村君	460
北村重晴	383
喜多弘	463, 475
紀野正	447
木下亀雄	461

木下繁太郎	461
木下安弘	440
木下喜博	513
木村英一	513
木村勝美	114, 468
清瀬瀬瀬	457
清原迪夫	447

ク

久家清	431
草地良作	443
久野宗	117
窪田英雄	506
久保秀雄	432
久保川道男	665
久原一男	117
熊沢孝朗	515
熊谷祐二	435
久米井和夫	252
久留勝	447
黒氏謙一	112, 481
黒沢和彦	464
黒津敏行	448
桑田努	45

コ

小石秀夫	456
小泉とし	443
幸塚嘉一	121, 477, 478
河野格	110
古閑睦好	111, 483
越野兼太郎	447
腰野千賀雄	324
腰野二千雄	161
吳振穂	366
小谷覚	426, 428, 429, 484
古谷光江	428
児玉正義	629
後藤英二	513
後藤賢二	110
後藤昌義	113, 466, 519
小西喜久治	474

小西与承	520
小林丘	439, 504
小林惇	427, 520
小林春雄	473
小林守	361
小山武一	504
小山靖夫	447
古谷野速雄	474
近藤敬	473
近藤正	484
近藤正治	445
近藤道子	184, 487, 489

サ

斎藤望	476
酒井敏夫	461
酒田英夫	502
坂本嶋嶺	464
桜井実	487, 489
笛川久吾	434
佐々木和夫	444, 445
佐々木隆	112, 488
佐々木長代	491
佐々木裕	484
佐々木優	471
佐々良	478
佐藤昭夫	448, 480
佐藤謙助	452, 516
佐藤源	484
佐藤治郎	119, 133
斎藤忠義	437
佐藤侑子	475
佐藤昌康	114, 116, 495
佐野豊美	519
沢政一	503

シ

塩見昭三	173, 185
志賀健	432, 557
宍戸和夫	462
志田圭司	512
品川嘉也	432, 511

渋谷 達明	120, 497
島津 浩	501
島田久八郎	496
島本多喜雄	519
清水 英子	279, 285
清水正二郎	480
下山 清太	447
白石 謙作	457

ス

末包慶太	520
末永 静節	110
楣江 勇	482
杉田 実	506
杉本順一	61, 71
杉 靖三郎	436
鈴木 啓司	462, 518
鈴木 隆	469
鈴木 泰三	462
鈴木 達二	481
鈴木 敏弘	506
鈴木 寿男	503
鈴木 宏哉	452, 515
須田 勇	508
鈴木 光雄	480
F. R. Steggerda	456
寿原健吉	451, 452, 454, 515
栖原六郎	509
角忠明	426, 428, 429
角 雅夫	237

セ

瀬尾愛三郎	119, 468
瀬川五雄	475
閑園子	45, 509
全田慶夫	119
錢場武彦	446

ソ

添田泰孝	119
添野喜代	435

曾根 弘	433
------	-----

タ

平則夫	503
高木健太郎	361, 441, 515
高氏昌	460
高垣玄吉郎	509
高木貞敬	120, 497
多河慶一	508
高田茂	463, 496
高下弘夫	509
高橋 悠	477
高橋義一	487
高橋久仁男	270
高橋国太郎	500
高橋長	417
高橋日出彦	473, 507
高橋宏	460
高橋正樹	462
高橋政子	439
高野光司	495
高比良英輔	194, 205, 226
滝川璋三	519
竹内功	461
竹内貞助	123
竹内宏	509
武内睦哉	118
武重千冬	502
竹中繁雄	512
竹中哲夫	512
竹中敏文	449
田北周平	467
田口秀子	465
田崎京二	470
田代郷太郎	489
田多井吉之助	442
伊達辰之助	429
館野慶次	475
田中育郎	111, 492
田中任	445
谷義和	442
玉井忠	113, 466, 519

チ			
中馬一郎	511	永井一夫	508
陳敏雄	707	長井大八	479
ツ		永井寅男	462
塙田裕三	453, 490, 493	中尾健	505
塙原進	465, 489	中尾弘之	446
塙原仲晃	501	中川旭子	460
塙本長	487	永木讓治	116
附田恵	469	永坂鉄夫	361
辻健三	431	中島淑子	476
辻本毅	433	長島長節	457
都筑幸哉	182	中島洋	509
土橋弘道	519	永田豊	453
土屋敦子	475	中西政周	170, 472
円谷豊	467, 518	中浜博	501, 509
チ		中村達児	608
寺田栄一	361	中村勉	437
寺本成美	118, 452, 516	中村俊郎	383, 386
ト		中村仁	440
間田直幹	114	中村嘉男	449
時実利彦	449, 514	中山公弘	366
得本博允	364, 435	中山雪麿	462
徳満豊	110	中山沃	429
登坂恒夫	470	名津井悌次郎	438
戸塙保	488	名取礼二	461
富田忠雄	112, 113, 114, 115	浪川素	440
富田晋	511	二	
富田恒男	497	新岡運藏	369
豊田順一	497	新島旭	495
豊田博	457	新山喜昭	456
鳥居鎮夫	514	新美良純	454
ナ		西岡伸子	509
内藤博江	121, 477, 478	西島早見	467
長井音次	433	西彰五郎	115, 479

- 新田初雄..... 482
二唐東朔..... 469

又

- 沼本満夫..... 450

- 平田清文..... 505
平間茂之..... 467, 518
平野修..... 453
平野清孫..... 362
平松茂辰..... 173
平光吾一..... 440
広田公一..... 457

フ

- 野村千里..... 391
野本昌弘..... 476

ハ

- 萩原仁..... 367, 459
橋本三郎..... 115, 473
蓮村成子..... 363, 438
橋本常世..... 467
橋本葉子..... 497
長谷川八郎..... 459
畠山一平..... 119
八賀昭彦..... 119
蜂須賀弘久..... 458
服部俊助..... 404
服部俊亮..... 473
花岡利昌..... 460
塙功..... 431
早川秀雄..... 245
林香苗..... 426, 435, 527
林禥..... 507
林秀生..... 519
原喜久江..... 509
原俊昭..... 507
原野広太郎..... 454
伴忠康..... 448

- 福田篤郎..... 121, 439, 504
福田寿男..... 478
福武勝博..... 484, 512
福田雅夫..... 119
福原武..... 426, 428, 429, 484
藤井一元..... 446
藤沢清..... 452, 515
藤下成周..... 472
藤田一石..... 475
藤田紀盛..... 436
藤田安一郎..... 502
藤野和宏..... 462, 518
藤原克三..... 483
藤本克己..... 469
藤本清一..... 478
藤本辰一..... 441
藤本守..... 293
藤森聞一..... 448, 480
船木三郎..... 477
舟木広..... 509
船越正也..... 719
古川太郎..... 500
古川俊之..... 506
古沢末義..... 111
古屋周治..... 496
古谷光江..... 463, 496

ヒ

- 東野庄司..... 120, 497
日野道夫..... 364, 435
平井健治..... 481
平尾武久..... 514
平川千里..... 431
平賀興吾..... 505

ホ

- 星猛..... 466
細美照明..... 113, 114
細谷精一..... 455
細谷雄二..... 122, 471
堀田利夫..... 449

堀内 嘉子..... 477
 堀江 港三..... 508
 堀 泰 雄..... 478
 本郷 利憲..... 501
 本田 和 正..... 454
 本田 良 行..... 363, 438
 本多 夏 生..... 118, 452, 516
 本間 邦 則..... 472
 本間 慶 蔵..... 455
 本間 三 郎..... 445, 495

マ

前川 孫二郎..... 520
 前野 雄..... 112, 116, 463, 475, 476
 卷幡 勝之..... 173, 185
 真島 英信..... 462
 榊井 滋..... 118
 増田 充..... 461
 升田 義次..... 182
 榊屋 滋..... 452, 516
 松井 秀治..... 441
 松井 良友..... 76, 441
 松田 幸次郎..... 466, 516, 519
 松谷 天星丸..... 493
 松野 豊..... 334
 松丸 信太郎..... 440
 松村 幹郎..... 462
 松本 淳治..... 451
 松本 保久..... 110
 真鍋 邦男..... 365
 丸尾 雅弘..... 442
 丸野 正夫..... 363
 丸橋 寿郎..... 112, 115, 475, 476
 丸山 直滋..... 449, 503
 万木 良平..... 488

ミ

三浦 きみ..... 14, 509
 三浦 光彦..... 445
 三上 五郎..... 517
 三木 讓..... 506
 三木 福治郎..... 364, 435

水内 昌二..... 461
 水沢 利雄..... 1
 水沼 ひさえ..... 461
 溝口 繩..... 110
 溝淵 孝雄..... 508
 三田 俊定..... 469
 皆川 幸子..... 498
 美原 恒..... 442
 水口 勇臣..... 471
 三村 瑞一..... 118, 452, 516
 宮内 和博..... 184, 487
 宮川 清..... 455
 三宅 可浩..... 365, 433
 宮崎 英策..... 460
 宮田 慶三郎..... 383
 宮原 英夫..... 477
 宮本 博司..... 365, 433

ム

向笠 寛..... 117
 武藤 直哉..... 105
 宗岡 玲文..... 444
 村上 憲..... 111, 488
 村上 哲英..... 364, 435
 村上 元彦..... 471
 村山 好道..... 505

モ

望月 政司..... 482, 511
 元木 沢文昭..... 448, 480
 森 昭胤..... 450
 森 信胤..... 435
 森田 弘道..... 443
 森本 孝..... 362
 守屋 美喜雄..... 147

ヤ

八木 鈍治..... 519
 八木 舍四..... 431, 517
 安田 浩士..... 364, 435
 安田 昌秀..... 462

- 箭 田 正 輝 22, 39, 45
 柳 沢 一 夫 383
 柳 沢 信 夫 514
 矢 永 尚 士 466
 梁 瀬 健 469
 藤 英 世 460
 山 岡 誠 一 458
 山 川 純 457
 山 口 俊 夫 462, 518
 山 口 雄 三 515
 山 下 栄 三 498
 山 下 一 邦 112, 481
 山 下 智 443
 山 田 守 428, 463, 496
 山 中 熱 571
 山 本 喜 義 483
 山 本 清 480
 山 本 長 三 郎 184, 448
 山 野 俊 雄 426, 433

ユ

- 湯 浅 実 45
 遊 佐 清 有 439

ヨ

- 横 井 弥 豪 男 484
 横 田 敏 勝 448, 480
 横 田 瞳 雄 506
 吉 井 直 三 郎 513, 515
 吉 雄 敬 彦 481
 吉 沢 甚 一 郎 506
 吉 田 敬 一 442
 吉 田 常 雄 506
 吉 田 敏 郎 462
 吉 田 真 澄 121
 吉 田 光 雄 446
 吉 村 不 二 夫 491
 吉 村 寿 人 45, 173, 185, 431, 491
 米 村 大 蔵 182

ヲ

- 若 林 熱 463, 475
 和 合 卵 太 郎 547
 和 田 謙 郎 462
 和 田 す み 518
 和 田 矯 479
 和 田 正 男 487, 489
 渡 辺 京 子 93, 509
 渡 辺 悟 183, 428
 渡 辺 英 史 442

萬有製薬主要製品

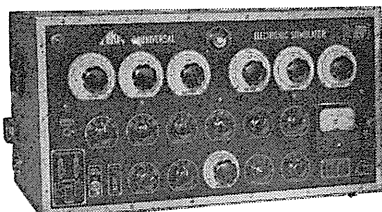
(耐性アドウ球菌感染症・新合成ペニシリン)	ス タ フ シ リ ン
(内服合成ペニシリソ)	シ ン シ リ ン
(持続性ニ基ペニシリソ)	バ イ シ リ ン
(各種ペニシリソ製剤)	ペ ニ シ リ ン
(テトラサイクリンメタ磷酸塩)	ブ リ サ イ 一 T X
(国産抗結核広範囲抗生物質)	カ ナ マ イ シ ン
(国産赤痢・腸疾患・百日咳治療抗生素)	コ リ ス チ ン
(コチゾン製剤)	コ ー ト ン
(ハイドロコチゾン製剤)	ハ イ ド ロ コ ー ト ン
(アレドニソロン製剤)	コ ー デ ル コ ー ト ン
(デキサメサゾン製剤)	デ カ ド ロ ン
(高血圧・浮腫・妊娠中毒症・クロロサイアザイド)	ク ロ ト ラ イ ド
(ハイドロクロロサイアザイド)	ダ イ ク ロ ト ラ イ ド
(メチオニン製剤)	バ ネ チ オ ニ ン
(非麻薬鎮痛剤)	ザ ク チ リ ン
(筋弛緩鎮痛剤)	ソ ー マ ニ ー ル

東京都中央区 萬有製薬株式会社 日本橋本町2~7

横浜市立大学医学部生理学教室 皇山一平教授監製

PATENT.No.221763

アイカ万能型電子管刺激装置 W-I 型



- 電気的可変要素が各々独立して調整できる
- 測定値、設定値が正確且信頼度が高い
- 可変要素の可変範囲が大きい
- アーチファクトが小さい
- 操作簡易
- 安定性がよい
- 用途が広い

- 繰返し二重刺激可能
- 独特の配線回路
- 直読目盛

¥ 150,000.

アイカ学習用電子管刺激装置 E-1 型



- 生理学実習実験のほとんどすべてを1台でまかなうことができる
- 詳しい知識のない者でも直ちに間違なく使用できる
- 設定値の読み取確実
- 必要にして充分な可変要素の調整範囲
- 安定度良好
- アーチファクト僅少な絶縁出力
- Rotatoriumの回転、ブラウン管オシロスコープの単掃引と同期可能

¥ 40,000.

—詳細カタログ御一報次第送呈—

東京都文京区本郷1丁目2番地

思誠堂 河市

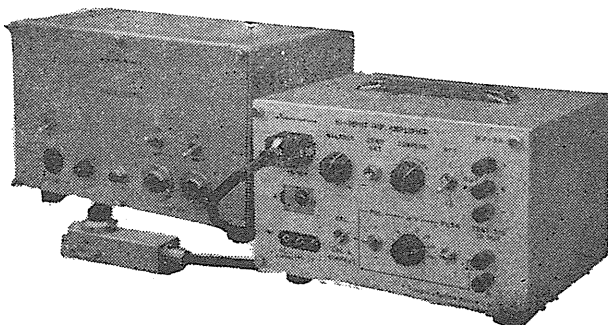
電話(921) 0349・2917

昭和三十六年十一月二十日印刷

日本光電の電気計測機器

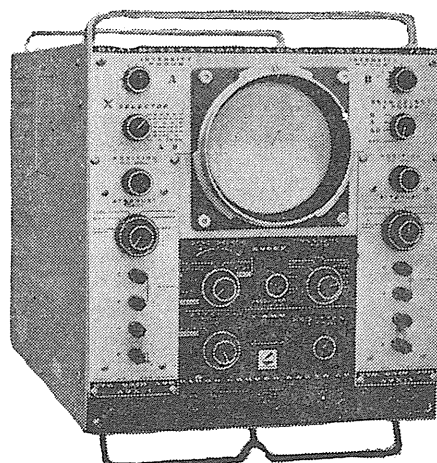
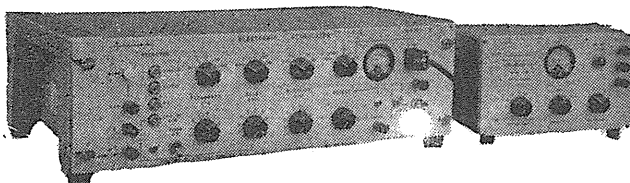
微細電極用増幅器 MZ-3A

- 平衡入力方式
- 入力インピーダンス $1000M\Omega$ 以上
- 入力電極に単位信号 (1~50mV) を重畠できる。
- 電圧感度 利得約10,
当社ブラウン管オシロと組合わせ
1 mV 10mmの感度



電子管刺激装置 MSE-3

- 繰返周波数 $0.1c/s \sim 10kc$
- 遅延時間 $10\mu s \sim 1sec$
- 持続時間 $10\mu s \sim 1sec$
- 矩形波出力電圧 $0 \sim 150V p-p$
- 直流出力電圧 $0 \sim 150V$

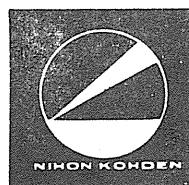


万能ブラウン管オシロスコープ VC-6

1~4現象観測用垂直軸前置増幅器をプラグイン式として下記4種を取揃え選択挿替えができる

型 式	AVS-1	AVH-1	AVM-1	AVB-1
感 度	10mV/cm	1mV/cm	50mV/cm	20μV/cm
周波数特性	D C ~ 500kc - 3 dB	D C ~ 100kc - 3 dB	D C ~ 100kc - 3 dB	L O W 1.4 ~ 0.003sec H I . 10kc, 1kc, 300, 100, 30c/s
最大測定電圧	500V p-p	500V p-p	500V p-p	200mV p-p
入力端子	G - E - G 2MΩ 40pF	G - E - G 2MΩ 40pF	G - E - G 2MΩ 40pF	G - E - G 5MΩ 250pF
用 途	標準型	高感度直流増幅	多現象用(2~4)	生体電気用

脳波分析装置	心電計	微細電極用増幅器
MTR アナライザ	電気脳内(眼底)血圧計	分極電圧自動補償型直流増幅器
筋電音刺激装置	電気血圧計	多用途監視記録装置
	呼吸流量計	万能ブラウン管オシロスコープ
	電子管刺激装置	インク書きオシログラフ



日本光電工業株式会社

東京都新宿区角筈2丁目84 スタンダードビル TEL (371) 8241~5
 仙台営業所 仙台市立町通9中央タクシービル内 TEL (5) 1395
 大阪営業所 大阪市天王寺区上本町5-11 TEL (762) 0334
 福岡営業所 福岡市下鉢町10 TEL (2) 3487
 名古屋 (朝日エレクトロン KK) 札幌 (石村器械製作所)

カタログ贈呈

代 理 店

発行人兼
戸塚武彦

東京大学医学部生理学教室
印 刷 所

印 刷 所

中 村 作 右 門
鶴岡印刷株式会社

発 行 所

東京大学医学部生理学教室
日本生理学会

定価
五百二
円